

Министерство геологии СССР
ВСЕСОЮЗНОЕ АЭРОГЕОЛОГИЧЕСКОЕ НАУЧНО-ПРОИЗВОДСТВЕННОЕ
ОБЪЕДИНЕНИЕ "АЭРОГЕОЛОГИЯ"

Экз. № 2

Г О С У Д А Р С Т В Е Н Н А Я
Г Е О Л О Г И Ч Е С К А Я
К А Р Т А С С С Р

масштаба I:200 000

Серия Приохотская

Листы 0-54-ХХ,ХХVI (Тукчи)

ОБЪЯСНИТЕЛЬНАЯ ЗАПИСКА

Составили И.Н.Егоров, А.Л.Станцев
Редактор Л.И.Красный

Утверждено Научно-редакционным советом ВСГЕИ
24 апреля 1973 г., протокол № 10

Москва 1977

Содержание

	Стр.
Введение	3
Геологическая изученность	5
Стратиграфия	7
Интузивные образования	22
Тектоника	40
Геоморфология	49
Полезные ископаемые	57
Подземные воды	62
Оценка перспектив района	64
Литература	68
Список проявлений полезных ископаемых .	71
Список промышленных месторождений полезных ископаемых	72

ВВЕДЕНИЕ

Территория листов 0-54-XXI расположена в Аяно-Майском районе Хабаровского края в пределах юго-восточных отрогов хребта Дугдур. Юго-восточная часть площади листов занята акваторией Охотского моря. Суша имеет среднегорный резко расчлененный рельеф с абсолютными отметками вершин 1000-1600 м. В центральной части площади листов рельеф характеризуется альпийскими формами с узкими гребневидными, часто скалистыми водоразделами крутыми склонами. Превышения здесь достигают 800-1000 м. На побережье и в северо-западной части территории рельеф более мягкий, часто встречаются широкие уплощенные водоразделы с пологими склонами; превышения 200-400 м. Почти всюду скалистое побережье Охотского моря изобилует обрывами высотой от 20 до 250-300 м и имеет прерывистую узкую полоску галечного пляжа шириной не более 250 м.

Все реки принадлежат бассейну Охотского моря. Наиболее крупные из них: р. Тукчи с ее правыми притоками Муй, Этанджа и Улья с правым притоком - Турманджа. Реки имеют плоскодонные залеченные долины, ширина которых обычно не превышает 0,5-0,7 км, в редких случаях достигая 2 км (низовье р. Тукчи, р. Улья). Часть рек имеет очень узкие каньонообразные долины. Частые пороги делают их непроходимыми даже для вычного транспорта (рр. Кивангра, Мунгая, верховье р. Муй и др.). Глубина основных рек на плесах 1-2 м, на перекатах 0,2-0,6 м, ширина русла 20-60 м. Глубина остальных рек 0,5-1 м, на перекатах 0,1-0,3 м, ширина до 15 м. Скорость течения в средней части наиболее крупных водотоков 1,5-2,3 м/с. Реки района неблагоприятны для использования лодочного транспорта. Во время весенних паводков, а также в период многодневных дождей, вода в основных реках поднимается на 1-3 м. Реки замерзают в конце октября, ноября, освобождаются от льда в мае. Глубина моря в прибрежной полосе до 20 м. Средняя высота прилива 3 м. Прибрежная полоса моря замерзает к началу декабря, полностью освобождается от льда к началу мая. В летние месяцы температура воды поднимается до 13° (август).

Среднее годовое количество осадков 800–1000 мм/год. Среднемесечная летняя (июнь–август) температура +22°; максимальная +35°. Летом выпадает 80% всех годовых осадков (данные Аянской метеостанции). Самые дождливые месяцы – июль, август. В летне–осенний период характерны частые и продолжительные туманы. Среднемесечная зимняя (декабрь–апрель) температура -20°. Самый холодный месяц – январь (-27–30°). С ноября по март господствуют устойчивые северо–западные ветры, достигающие скорости 35 м/с. Снегопады, метели (40–50 дней в году) вызваны проходящими циклонами тихоокеанского фронта. В районе островным развитием пользуется многолетняя мерзлота, поверхность мерзлых пород обычно залегает на глубине 0,4–1,5 м, наиболее крупные талики расположены в долинах рек.

Склоны гор покрыты кедровым стланником, карликовой береской. В поймах крупных рек встречаются лиственница, береза, ель, тополь, ива. Высота леса обычно не превышает 20 м. Пойменные леса могут представлять интерес для местного строительства.

Обнаженность района различна. Хорошо обнажена центральная часть и прибрежная зона, обращенная к морю, где часто встречаются скальные обнажения. Большая же часть площади заросена, покрыта мощными осыпями, что и определяет плохую дешифрируемость аэрофотоматериалов. Наиболее легко опознаются на аэрофотоснимках разрывные нарушения, которые выражены в рельефе в виде прямолинейных участков речных долин, уступов и цепочек седловин. Хорошо дешифрируются аллювиальные и ледниковые отложения с характерным плоским или мелко–буристым рельефом. Массивы гранитоидов отличаются от вмещающих вулканогенных пород мягкими сплавленными формами рельефа. В вулканогенной толще местами видны структурные линии. Однако в большинстве случаев границы свит и подсвит, так же как и фациальные разновидности интрузивных пород, не дешифрируются.

В экономическом отношении район не освоен. В нижнем течении р. Тукчи находятся три пункта, где проживают рабочие обслуживающие телефонную линию Чумикан–Аян–Охотск. Ближайший населенный пункт Кемкра находится на побережье в 20 км северо–восточнее территории листов. Ближайшие аэропорты, пригодные для посадки самолетов АН–2, расположены в поселках Курун–Урях (в 150 км к западу от территории листа) и Аян, расположенный к юго–востоку – в 200 км. В этих поселках имеются почта, телеграф, клуб, магазин и сберкасса. Путями сообщения в районе являются вычные тропы. Наиболее крупные из них идут вдоль рек Турманда, Турмачан, Тукчи и Эстанджа.

ГЕОЛОГИЧЕСКАЯ ИЗУЧЕННОСТЬ

Геологосъемочные работы в районе были начаты в середине сороковых годов в связи с поисками золота. В 1942–1945 гг. по заданию треста "Джугджурзолото" проводились поисково–съемочные работы м–ба I:500 000 под руководством В.И.Летицкина в восточной части территории листа 0–54–ХХ [16]. В комплексе вулканогенных пород были выделены: 1. Нижняя эфузивная свита порфиритов – нижний мел. 2. Средняя эфузивная свита фельзитовых порфиров, дацитовых порфиритов и их туфов – нижний мел. 3. Верхняя свита андезито–базальтов, туффитов и туфоконгломератов – палеоген. Выделение свит проводилось по литологическим признакам. Среди интрузивных пород откартированы гранитоиды и субшелочные гипабиссальные породы. Перспективы золотоносности оценены положительно, но заметных концентраций золота выявлено не было.

В 1945–1946 гг. на территории листов 0–54–ХХ, ХХVI была проведена геологическая съемка м–ба I:200 000 партией Н.И.Трушковой (севернее р.Эстанджа) и партией К.Т.Злобина (южнее р.Эстанджа^{x)}). По данным Н.И.Трушковой [20] стратиграфический разрез вулканогенного комплекса следующий: 1. Андезиты и их туфы условно раннемелового возраста. 2. Липариты, дациты и их туфы, туфоконгломераты верхнего мела. 3. Покровы третичных андезитов и базальтов. Возраст верхнемеловой толщи определен по флоре. В остальных случаях определение возраста проводилось условно по сопоставлению с разрезами соседних территорий. Среди интрузивных пород Н.И.Трушкова впервые описывает гранитоидный массив правобережья Тукчи, в котором выделяет разнообразные фации от гранитов до диоритов. Из полезныхскопаемых установлены редкие знаки золота в аллювии рек Улья, Эйканда и Турманда.

К.Т.Злобиным [21] для южной части района описан следующий разрез вулканогенной толщи (снизу вверх): 1. Андезиты, туфопесчаники, дациты и их туфы – позднеурского–раннемелового возраста. 2. Липарито–дациты и их туфы, граувакки, туфобрекции и туфоконгломераты – верхнего мела. Впервые детально описана юго–восточная часть крупного массива гранитоидов. Из полезныхскопаемых в районе установлены шлиховым опробованием редкие знаки золота в аллювии рек Кохалмы и Мирмалан. Оценка района в отношении россыпных месторождений – отрицательная.

^{x)}Карты этих съемок переоценены и признаны соответствующими м–бу I:1 000 000.

В 1957 г. часть территории в верховьях р. Этанджи была покрыта геологической съемкой м-са I:500 000, проводимой Нёт-Майской геолого-рекогносцировочной партией Приморской комплексной экспедиции СВГУ под руководством С.И.Федотова [22]. Мощная толща кислых эфузивов отнесена автором к верхнему мелу по аналогии со сходной толщей, развитой к северо-востоку по р.Амке, где она содержит сеноман-турецкую флору. Среди интрузивных образований мезозоя С.И.Федотов выделил позднемеловые интрузии габбро-диоритов и прорывающих их гранитов.

В 1958 г. Е.Г.Херувимовой [23] проведена аэромагнитная съемка м-са I:200 000. Было установлено, что район имеет неоднородное магнитное поле с резко переменными значениями Δ Та, в целом соответствующее площади распространения мезо-кайнозойских вулканогенных толщ Охотско-Чукотского пояса.

В 1962 г. вышла из печати геологическая карта листа 0-54 (Охотск) м-са I:1 000 000 и объяснительная записка к ней, составленные Г.Н.Чертовских [6]. В пределах площади листов 0-54-XX, XXVI автором были использованы материалы и выводы К.Т.Злобина и Н.И.Трушковой.

В 1967-1969 гг. на территории листов 0-54-XX, XXVI проводилась геологическая съемка м-са I:200 000 партией № 4 экспедиции № 2 ВАГТ с целью составления Государственной геологической карты м-са I:200 000. В 1967-1968 г. работы проводились на западной части территории листа под руководством Н.С.Шпак, в 1969 г. - на восточной части площади листа 0-54-XX, под руководством И.Н.Егорова [10]. Геологическая съемка велась с использованием аэрофотоснимков м-са I:66 000 залета 1950 г. В результате этой работы проведено дробное расчленение вулканогенных и интрузивных образований, которое положено в основу подготовленной к изданию геологической карты листов 0-54-XX, XXVI. Определены перспективы территории в отношении полезных ископаемых.

В 1968 г. в бассейне Этанджи проводились поисково-ревизионные работы на золото поисковым отрядом экспедиции № 2 ВАГТ под руководством А.С.Рейтлингера [17]. В результате было выявлено три перспективных рудопроявления золота.

В 1970-1971 гг. на ограниченном участке по левобережью Ульи на северо-западе территории листа 0-54-XX проводилась геологическая съемка м-са I:50 000 под руководством М.В.Минца и З.М.Самозванцевой (экспедиция № 2 ВАГТ), которыми в пределах магейской свиты вулканитов откартированы генетически однородные вулканогенные поля с предполагаемыми центрами извержений [13].

Геологическая карта листов 0-54-XX, XXVI полностью увязана с подготовленными к изданию геологическими картами листов 0-54-XIX и 0-54-XXV. На площади остальных смежных листов съемка еще не завершена.

Сведения о полезных ископаемых даны на карте по состоянию на 1 октября 1972 г.

С Т Р А Т И Г Р А Ф И Я

Исследуемая территория сложена преимущественно вулканогенными, реже вулканогенно-осадочными и осадочными образованиями, подразделяющимися по возрасту на верхнеюрские, нижнемеловые и верхнемеловые. В долинах рек и на побережье Охотского моря развиты ледниковые, аллювиальные и морские четвертичные отложения.

ИРСКАЯ СИСТЕМА

В е р х н и й от д е л (J_3 ?)

К верхнеюрским образованиям условно отнесена толща осадочных и вулканогенных пород, слагающих разрозненные останцы кровли массива мезозойских гранитоидов на побережье Охотского моря в районе устья Тукчи. Площадь отдельных выходов не превышает 45 км². Наиболее полный разрез монотонной флишеподобной толщи наблюдался севернее устья р.Кохалмы, где она сложена вулканомиктовыми кварцево-слюдистыми алевролитами серыми, светло-серыми и аргиллитами темно-серыми, тонконолосчатыми. Алевролиты и аргиллиты слагают прослои мощностью 3-10 мм. Породы очень плотные, сильно метаморфизованные. По всей толще прослеживаются прослои и линзы полевошпатово-кварцевых песчаников светло-серых, зеленовато-серых, мелкозернистых сливных. Мощность их в нижней части толщи колеблется от 30 до 100 м, в верхах уменьшается до 1-2 м. В верхах толщи встречаются прослои и линзы (1-2) зеленовато-серых туфов дацитовых порфиритов. Видимая мощность толщи 1900 м.

В приустьевой части рек Тукчи и Иркаркан обнажаются кварцево-слюдистые алевролиты и аргиллиты с прослоями песчаников, соответствующие, по-видимому, низам толщи. Мощность их 100-120 м.

Кварцево-слюдистые алевролиты сложены гидрослюдисто-хлоритовым агрегатом (60-70%), цементирующими остроугольные зерна кварца размером 0,02 мм. В аргиллитах гидрослюдистый агрегат составляет 90-95% всей массы породы. Полевошпатово-кварцевые песчаники представляют собой мелкозернистую породу, сложенную угловатыми, слабо окатанными обломками кварца (65%) и плагиоклаза (андезин 40-45%).

Цемент - эпидот-циозит-хлоритовый, составляет 35% породы. Тип цемента - базальный.

Туфы дайотовых порфиритов - средне-, грубообломочные, реже лапиллевые, кристалло-литокластические. Породы сложены обломками дайтовых порфиритов, изредка кварцевых песчаников размером 0,5-2,5 см и обломками плагиоклаза, калиевого полевого шпата, реже магнетита, кварца (0,1-1 мм). Цемент туфовый тонкообломочный, составляет 35-40% породы. Тип цемента - базальный или поровый.

В пределах территории листа определяется лишь верхняя возрастная граница рассматриваемой толщи - она перекрывается эфузивами нижнемеловой магейской свиты и прорывается раннемеловыми гранитоидами. Однако по своему составу и положению в разрезе она хорошо коррелируется с верхнеюрскими отложениями бассейна р.Нельзи (территория листа О-54-ХХ) [9], что и дает основание условно отнести описываемые образования к верхней юре.

МЕЛОВАЯ СИСТЕМА

Нижний отдел

Нижнемеловые образования представлены эфузивами кислого, среднего и основного состава, широко развитыми в северной и восточной частях района. Среди них выделяются ульбериканская и магейская свиты.

Ульбериканская свита (Кул)

К ульбериканской свите относится толща средних и основных, в меньшей степени кислых вулканитов, развитых на правобережье Тукчи и в бассейне Этанджи. Вулканогенные образования наблюдаются здесь среди прорывающих их гранитоидов. Подошва свиты в пределах района нигде не установлена.

Наиболее полно ульбериканская свита представлена в междууречье нижнего течения р.Муй - р.Тукчи, где наблюдается (снизу вверх) следующий ее разрез (в м):

1. Андезитовые и андезито-базальтовые порфириты серого и черного цвета	400
2. Дайтовые порфириты и их туфы мелко- и крупнообломочные зеленовато-серые, серые окраинные с прожилками гематита	100
3. Туфы липаритового состава светло-зеленые от мелко- до крупнообломочных, с прослойками липаритовых порфиритов. Среди туфов наблюдаются линзы андезитовых порфиритов, туффитов (мощностью 10-20 м) и валунно-галечных туфоконгломератов (мощность до	

60 м). Галька и валуны в конгломератах представлены андезитовыми порфиритами, гранитами, кварцитами

400

4. Андезитовые и андезито-базальтовые порфириты темно-серые, серые, черные с линзами (5-10 м) туфов андезитовых порфиритов

400

Видимая мощность свиты 1300 м.

В юго-западном направлении мощность кислых образований третьей пачки сокращается до 100 м и туфы липаритового состава сменяются дайтовыми туфами с прослойками туфогенных конгломератов мощностью до 20 м. В бассейне р.Муючи верхняя часть ульбериканской свиты сложена андезито-базальтовыми порфиритами. Еще западнее, в бассейне р.Уганкан, ульбериканские образования представлены андезитовыми порфиритами, залегающими среди гранитоидов. Мощность их здесь около 350-400 м. На крайнем юго-западе в верховьях р.Кохалмы ульбериканская свита сложена темно-зелеными туфами андезитового состава с линзами туфов дайтового состава и андезитовых порфиритов, мощность которых не превышает 10-15 м. Мощность свиты на этом участке 500 м.

Андезито-базальтовые порфириты имеют порфировую структуру.

Количество вкрацленников размером 1-2 мм - 50-60%. В их составе преобладают авгит и амфибол (55-60%). Плагиоклаз встречен в подчиненном количестве и представлен лабрадором № 55-62. Постоянно во вкрацленниках присутствует магнетит. Основная масса имеет интерсерталную и гиалопилитовую структуру и сложена микролитами плагиоклаза и перекристаллизованным стеклом. Широко развиты вторичные минералы: эпидот, хлорит, серицит, замещающие как вкрацленники, так и основную массу. По химическому составу андезито-базальтовые порфириты аналогичны соответствующим породам, по Дэли (см. табл. I).

Андезитовые порфириты имеют порфировую, реже афировую структуру и характеризуются различными текстурами: цициристой, миндалекаменной и массивной. Количество вкрацленников в породе составляет 10-25%, размеры их 1-5 мм. Вкрацленники представлены плагиоклазом № 40-45, роговой обманкой, изредка биотитом и моноклинным пироксеном. Основная масса сложена микролитами плагиоклаза и стеклом, структура ее цицакитовая и гиалопилитовая. Из вторичных минералов встречается эпидот и хлорит. По химическому составу порода соответствует среднему составу андезитов, по Дэли (табл. I).

Дайтовые порфириты имеют порфировую, реже афировую, структуру. Текстура пород массивная. Вкрацленники составляют 15-25%, размер их 1-3 мм. Состав вкрацленников: плагиоклаз № 30-35, изредка кварц. Основная масса сложена слабо раскристаллизованным кварц-полевошпатовым агрегатом, структура основной массы микропойкилитовая.

Таблица I

Химический состав вулканогенных пород, в вес. %

Породы	SiO ₂	TiO ₂	Al ₂ O ₃	Fe ₂ O ₃	FeO	P ₂ O ₅	MnO	CaO	MgO	Na ₂ O	K ₂ O	SO ₃	ШПИ	Сумма
Андезито-базальтовый порфирит Ульбериканской свиты (р. Тукчи)	52,54	0,68	20,44	4,60	0,22	0,20	7,95	4,30	3,20	1,22	—	0,58	100,53	
Андезитовый порфирит Ульбериканской свиты (р. Этанда)	60,26	0,49	17,60	2,31	2,63	0,21	0,10	5,00	3,35	4,80	1,22	—	2,46	100,43
Андезито-базальтовый порфирит Магейской свиты (р. Эйло)	55,10	0,61	15,35	2,77	4,25	0,37	0,10	6,85	4,05	3,70	1,50	0,05	1,51	99,59
Андезитовый порфирит Магейской свиты (р. Эйло)	58,18	0,50	17,45	0,74	2,30	0,33	0,10	7,00	2,13	3,04	2,28	0,07	2,10	99,42
Дацитовый порфирит магейской свиты (междуречье Улья-Тукчи)	64,33	0,56	16,96	3,95	1,86	0,20	0,10	2,50	1,68	4,30	2,20	—	1,33	99,11
Липаритовый порфир Магейской свиты (верховья р. Муй)	70,92	0,17	14,16	0,62	1,50	0,14	0,06	1,75	0,83	4,12	2,66	0,03	2,58	99,38
Частовые характеристики														
a	c	b	s	f'	m'	a'	t	n	c'	t	v	q	w/c	
9,4 12,6 10,9 12,7 12,3 12,8	9,8 5,8 7,4 7,4 3,1 2,1	18,0 10,3 15,4 18,4 3,1 2,1	63,8 70,8 66,5 71,8 73,5 79,5	52,0 42,6 44,2 45,2 38,7 40,7	45,0 53,5 44,7 46,0 38,7 24,7	— — — — 36,3 34,6	3,0 3,9 8,1 21,2 — —	80,5 78,9 66,6 63,0 64,7 64,7	1,5 0,8 — — — —	24,0 18,0 16,2 17,0 0,16 0,16	3,0 3,6 16,2 17,0 23,0 23,0	0,9 2,4 1,4 1,4 4,0 6,1		

Липаритовые порфириты характеризуются афировой структурой, флюидальной или массивной текстурой. Вкрапленники редки – 2,5% и представлены олигоклазом № 20–25, кварцем и биотитом. Размер их 1–2 мм. Основная масса сложена стеклом, участками перекристаллизованным в мелкозернистый кварц–полевошпатовый агрегат; структура ее микрофельзитовая, микропойкилитовая.

Туфа андезитовых порфиритов средне- и крупнообломочные, кристалло-литокластические. Размер обломков до 0,5–1,5 см. Обломки пород представлены андезитовыми порфиритами и их туфами. Состав обломков кристаллов: плагиоклаз № 40–45, биотит, альбит, роговая обманка. Обломки составляют 50–60% породы. Цемент туфов – пепловый.

Туфы липаритовых порфиритов, дацитовых порфиритов мелко- и грубообломочные, кристалло-литокластические. Размер обломков – 0,2–1,5 см. Их состав: липаритовые порфириты, дацитовые порфириты и их туфы, а также осколки кристаллов кварца, альбит–олигоклаза. Количество обломочного материала составляет 60–70%. Цемент – пепловый.

Туффиты средне- и грубообломочные. Состав обломков: липаритовые порфириты, кварц, калиевый полевой шпат, альбит–олигоклаз. Окатаанность материала слабая, сортировка плохая. Цемент алевропелитовый (30–60% объема породы).

Туфогенные конгломераты – крупновалунные, галечно-валунные. Размер отдельных валунов достигает 0,5 м. Состав обломков – граничные, андезитовые, дацитовые порфириты, липаритовые порфириты, туффиты. Цемент пепловый, псамmitо-алевропелитовый (30–35% объема породы).

Эффузивы ульбериканской свиты на территории листа перекрывают ся вулканогенными образованиями нижней подсвиты магейской свиты и прорываются раннемеловыми гранитоидами Джугджурского комплекса. Описываемые образования отнесены к ульбериканской свите на основании литологического сходства и аналогичного стратиграфического положения с образованиями ульбериканской свиты, содержащими раннемеловую флору и развитыми непосредственно западнее и севернее [14, 15].

В 35 км к северо-западу за пределами листа, на правобережье р. Тотти, раннемеловой (I20–I23 млн. лет) возраст дацитовых порфиритов их ульбериканской свиты определен калий-argonовым методом (по валу, два определения) [7].

Магейская свита

К магейской свите отнесена мощная сложно построенная толща чередующихся пирокластов и лав липаритового, дацитового и андезитового состава, широко распространенная в северной части района и подразделяющаяся на нижнюю, среднюю и верхнюю подсвиты.

Нижняя подсвита (K_1mg_1) Нижняя подсвита ограниченно распространена и сохранилась в отдельных тектонических блоках в верхнем течении рек Уганкан и Тукчи, по рекам Олгомда, Турмачан и Муячин, на морском побережье в районе Оджан. Отложения нижней подсвиты согласно, местами с размывом залегают на эфузивах ульбериканской свиты и с угловым несогласием на верхнеурских образованиях (к северу от устья Кохалмы).

Наиболее полный разрез наблюдается на водоразделе рек Турмачан и Муячин на андезито-базальтовые порфиры ульбериканской свиты налегают (в м):

1. Туфы дацитовых порфиритов серо-зеленые крупнообломочные, лапиллиевые с линзами (3-5 м) дацитовых и андезитовых порфиритов	400
2. Андезитовые порфиры и их туфы зеленые, серо-зеленые от мелкообломочных до лапиллиевых	110
3. Туфы дацитовых порфиритов зеленовато-серые, лапиллиевые с линзами (2-5 м) андезитовых порфиритов и туфов липаритовых порфиров	290

В верховых Тукчи и Турмачана отложения нижней подсвиты представлены преимущественно туфами дацитовых порфиритов от мелкообломочных до лапиллиевых с маломощными (10-30 м) линзами и прослоями андезитовых порфиритов и их туфов. Аналогичный разрез с большим преобладанием андезитовых порфиритов и их туфов наблюдается на морском побережье.

Видимая мощность подсвиты 800 м.

Средняя подсвита (K_1mg_2) залегает согласно на андезитовых порфиритах нижней подсвиты на правобережье Ульи. Она сложена однообразными туффитами светло-желтого, серого цвета, слоистыми, плитчатыми с обугленным растительным детритом. Среди туффитов наблюдаются линзы и прослои (5-20 м) темно-зеленых андезитовых порфиритов и черных углистых аргиллитов (0,2-1 м) с отпечатками *Pityophyllum ex gr. poggenakioldii* (Heer), *Desmophyllum* sp. (сборы Н.С.Шпак, 1968 г.). Максимальная мощность средней подсвиты 200 м.

Верхняя подсвита (K_1mg_3) Вулканогенные образования верхней подсвиты распространены в пределах района наиболее широко, занимая северную половину площади, а также прибрежную зону к северо-востоку от м.Оджан. На западе отложения этой подсвиты согласно залегают на туффитах средней подсвиты, а в центральной части площади листа ложатся непосредственно на образования нижней подсвиты магейской свиты. В разрезе верхней подсвиты можно условно выде-

лить нижнюю, среднюю и верхнюю толщи, которые местами связаны друг с другом фациальными переходами.

Отложения нижней толщи распространены в бассейне Ульи, в верховых Тукчи, в бассейне р.Мунгая и на морском побережье в 12 км северо-восточнее м.Оджан. Наиболее характерный разрез (в м) нижней толщи наблюдается в приустьевой части р.Турманджа.

I. Туфы липаритового состава сиренево-серые крупнообломочные	140
2. Туфы зеленовато-серые мелкозернистые иногда тонкополосчатые	60
3. Липаритовые порфиры светло-зеленые	200
4. Туфы дацитовых порфиритов серо-зеленые, серые, мелкообломочные	20
Общая мощность 420 м.	

В верховых Тукчи преобладают липаритовые порфиры с маломощными (10-30 м) линзами туфов кислого состава. К югу, юго-востоку липаритовые порфиры сменяются светло-коричневыми, сиреневыми игнimbритами кислого состава, среди которых обычны линзы липаритов и их туфов. Видимая мощность нижней толщи в этом районе 530 м. На побережье в разрезе толщи преобладают светло-зеленые туфы липаритовых порфиритов с подчиненными прослоями туффитов кислого состава и липаритовых лав. Видимая мощность кислых эфузивов 450 м.

Средняя толща образована преимущественно лавами и пирокластами андезитового состава, имеет наибольшее распространение и характеризуется большой мощностью. Породы этой толщи распространены на северо-западе и северо-востоке описываемой территории, где они перекрывают нижнюю толщу. На западе района по правобережью Ульи преобладают лавовые потоки андезитовых порфиритов темно-зеленого и фиолетового цвета. Резко подчиненное распространение имеют туфы андезитовых и дацитовых порфиритов, мощность которых обычно не превышает 10 м. Мощность толщи 200-250 м.

На востоке в верховых Кивангра и Учи средняя толща представлена андезитовыми порфиритами с мощными прослоями (50-100 м) туфов андезитового и дацитового состава и линзами (5-12 м) розоватых дацитовых порфиритов. Ее мощность здесь увеличивается до 700 м. В верховых Муй наблюдается следующий разрез (в м):

I. Андезитовые порфиры серо-зеленого цвета с маломощными линзами (5-15 м) туфов андезитового и дацитового состава	280
2. Туфы андезитового и дацитового состава темно-зеленые, фиолетовые от среднеобломочных до лапиллиевых	100

3. Игнимбриты дацитового состава серо-зеленые	220
Общая мощность 600 м.	

Верхняя толща, отвечающая верхней части разреза верхней подсвиты, обнажается в бассейне Эйло. Здесь на андезитовых порфиритах средней толщи залегают (в м):

1. Туфы липаритовых порфиров розовине средне- и крупнообломочные	120
2. Липаритовые порфириты розовые, кремовые флюидальные с линзами (2-5 м) туффитов кислого состава	70
3. Игнимбриты дацитового состава светло-коричневые, светло-зеленые флюидальные	50
4. Андезито-базальтовые порфириты черные, вишневые с линзами (2-5 м) туффитов	60
5. Андезитовые порфириты серо-зеленые	120

Общая мощность 420 м.

Мощность верхней подсвиты магейской свиты не превышает 1650 м.

Общая мощность магейской свиты достигает 2650 м.

Ниже приводится петрографическая и химическая характеристика пород магейской свиты.

Андезито-базальтовые порфириты обычно имеют порфировую структуру. Вкрацленники составляют 30-35%, размер их 1-5 мм. Состав вкрацленников: плагиоклаз № 55-60, пироксен, реже оливин, магнетит. Основная масса состоит из микролитов плагиоклаза и бурого стекла. Структура основной массы интерсертальная, гиалопилитовая, либо микродолеритовая. По химическому составу андезито-базальтовые порфириты занимают промежуточное положение между средним типом андезитов и базальтов, но Дэли (табл. I).

Андезитовые порфириты - породы порфировой структуры. Количество вкрацленников 10-15%, размер их 1-3 мм. Во вкрацленниках преобладает плагиоклаз № 37-45, реже амфибол, биотит. Основная масса сложена микролитами плагиоклаза, хлоритом, магнетитом и стеклом. Структура основной массы микролитовая, пилотакситовая.

Химический состав андезитовых порфиритов (табл. I) отличается от среднего типа андезитов, по Дэли, лишь более низким содержанием темноцветных ($b = 8,4$) и повышенным содержанием полевошпатовой извести ($c = 7,4$).

Дацитовые порфириты - породы порфировой структуры, сложенные на 10-20% порфировыми вкрацленниками, размер которых 0,5-3 мм. Во вкрацленниках встречаются плагиоклаз № 26-32, роговая обманка и биотит. Основная масса сложена преимущественно микролитами плагиоклаза.

В подчиненном количестве присутствуют калиевый полевой шпат и кварц. Структура основной массы в разностях, содержащих стекло, гиалиновая, но обычно структура микролитовая, микропойкилито-травитовая.

Липаритовые порфириты - флюидальные, реже массивные породы порфировой или афировой структуры. Вкрацленники (1-2 мм) составляют 5-10%. Они представлены альбит-олигоклазом, пелитизированным калиевым полевым шпатом, кварцем и биотитом. Основная масса сложена кварц-полевошпатовым агрегатом, раскристаллизованным в той или иной степени. Структура основной массы микрофельзитовая, микропойкилитовая, сферолитовая. По химическому составу они близки к средним типам липаритов, по Дэли (табл. I).

Туфы андезитовых порфиритов сложены угловатыми обломками андезитовых порфиритов, размер которых достигает 3-4 см, и обломками кристаллов плагиоклаза, роговой обманки. Цемент пепловый составляет 40-50% породы.

Туфы дацитовых порфиритов мелко-, крупнообломочные. Порода сложена угловатыми обломками (0,5-3 см) дацитовых, андезитовых порфиритов, реже липаритовых порфиритов, встречаются обломки плагиоклаза № 25-36, роговой обманки, биотита, изредка кварца. Цемент пепловый, составляет 30-40% породы.

Туфы липаритовых порфиритов средне- и крупнообломочные. Порода сложена угловатыми обломками (1-3 см) липаритовых порфиритов, дацитовых порфиритов, кристаллов калиевого полевого шпата, олигоклаза, кварца. Цемент пепловый, составляет 20-50% породы.

Туффиты кислого состава по размеру зерен варьируют от алевритовых до псаммитовых. Обломки составляют 50-90% породы и представлены кислыми эфузивами, иногда порфиритами, а также осколками кристаллов плагиоклаза, калиевого полевого шпата, биотита и кварца. Цемент базальный, обычно хлоритизированный.

Игнимбриты умеренно кислого и кислого состава на 55-70% сложены обломками липаритовых порфиритов, дацитовых порфиритов и их туфов, а также олигоклазом, биотитом, кварцем и калиевым полевым шпатом. Фьямме представлены вулканическим стеклом либо спекшимися обломками афировых липаритов. Степень спекания игнимбритов колеблется в широких пределах от слабой, при которой основная масса состоит, главным образом, из рогульчатых осколков стекла, до сильной, когда она напоминает основную массу кислых эфузивов и имеет микрофельзитовую или фельзитовую структуру.

Аналогичные разности пород магейской и ульбериканской свиты сходны по внешнему облику, петрографическому и химическому составу. Но в целом эти свиты отличаются друг от друга. Ульбериканская свита в большинстве случаев сложена породами андезитового состава, лишь

в нижнем течении Муй в средней части свиты заметную роль играют кислые туфы. Магейская свита отличается пестрым составом с преобладанием кислых вулканитов. Здесь наряду с породами липаритового и дацитового состава довольно широко развиты туффиты и игнимбриты. Лишь в средней части верхней подсвиты преобладают андезитовые порфиры и их туфы.

Растительные остатки, собранные в породах средней подсвиты магейской свиты, по заключению В.А. Вахрамеева, предположительно являются раннемеловыми. Вулканогенные образования свиты прорываются и метаморфизуются гранитоидами раннемелового Джугджурского комплекса. Возраст липаритовых порфиров верхней подсвиты, определенный калий-argonовым методом^{x)} по породе в 121 млн. лет (среднее из 9 определений; см. табл.2), отвечает раннему мелу.

Таблица 2

Место взятия пробы	# на карте	Породы	Возраст в млн. лет	Количества в %	Количества в %	воздушный в %	$\frac{\text{Аг}^{40}}{\text{Ar}^{40}}$
Верховья Турманжи	I	Липаритовый порфир	II4	2,03	15,8	II,4	0,0065
Верховья Турманжи	2	Липаритовый порфир	II7	2,05	16,5	20,7	0,0067
Правобережье Ульи	3	Дацитовый порфирит	II7	2,94	23,6	9,9	0,0067
р. Ульинская Куганка	4	Туф липаритового порфира	II9	2,50	20,3	7,33	0,0068
Верховья Муй	5	Липаритовый порфир	I22	5,19	43,6	5,0	0,0070
Правобережье Ульи	6	Липаритовый порфир	I25	5,06	44,0	I7,4	0,0072
р. Эйло	7	Липаритовый игнимбрит	I25	4,89	33,8	23,5	0,0072
Верховья Тукчи	8	Туф липаритового порфира	I27	4,64	40,9	II,8	0,0073
Левобережье Ульи	9	Липаритовый порфир	I28	3,07	27,3	6,5	0,0074

^{x)} Все радиологические определения возраста пород, результаты которых приводятся в настоящей записке, выполнены в лаборатории объединения "Аэрогеология" (г. Москва).

Залегание верхней подсвиты магейской свиты на различных горизонтах нижней и средней подсвит этой же свиты свидетельствует о наличии перерыва в основании верхней подсвиты и позволяет ставить вопрос о выделении последней в самостоятельную свиту. Однако непосредственно западнее и северо-западнее между средней и верхней подсвิตами магейской свиты отмечаются постепенные переходы и граница между ними проводится условно, а на некоторых участках магейская свита картируется нерасчлененной [12,18]. Это дает основание рассматривать перерыв в магейской свите как местное внутриинформационное несогласие и не выделять верхнюю ее часть в самостоятельную свиту.

Верхний отдел (K_2)

К нерасчлененным отложениям верхнего мела отнесена толща вулканогенно-осадочных образований, имеющая очень ограниченное распространение. Верхнемеловые отложения слагают привершинные участки в междуречьях Кемкары - Бол. Кохалмы, Тукчи - Агинкана и Агинкана - Мунгая, где с размывом залегают на породах ульбериканской и магейской свит, а также на гранитоидах Джугджурского комплекса. Нижняя часть толщи обычно представлена туфоконгломератами. Выше залегают туфы липаритового и дацитового состава от среднеобломочных до крупнообломочных, содержащие линзы (1-30 м) туфогенных конгломератов. Мощность отложений колеблется в пределах 100-200 м. Наиболее полный разрез наблюдается в междуречье Тукчи - Агинкана, где на размытой поверхности андезитовых порфиров верхней подсвиты магейской свиты залегают (в м):

- 1. Туфогенные конгломераты валунно-галечные розовато-серые 60
 - 2. Туфы дацитовых порфиритов серо-зеленые средне- и крупнообломочные с линзами (1-2 м) туфогенных конгломератов аналогичных вышеописанным .. 30
 - 3. Туфы липаритовых порфиров светло-серые средне- и крупнообломочные с линзами и прослоями (5-30 м) туфогенных конгломератов I30
- Общая мощность 220 м.

Туфогенные конгломераты сложены галькой и валунами. Размер обломков колеблется от 2 до 50 см. Характерна хорошая окатанность обломочного материала. Состав гальки и валунов: липаритовые порфириты, дацитовые и андезитовые порфириты и их туфы, диориты и гранодиориты джугджурских гранитоидов. Количество обломочного материала 80-90%. Цемент пепловый.

Туфы дацитовых порфиритов и липаритовых порфиров сходны с аналогичными породами магейской свиты.

Позднемеловой возраст описываемых отложений определяется на основании того, что они с размытием перекрывают магейскую свиту, а также гранитоиды Джугджурского комплекса. Юго-западнее в между-речье Бол. Комуй и Джакдак-Авланджа в аналогичных по составу и стратиграфическому положению образованиях обнаружен спорово-пыльцевой комплекс, характерный, по заключению В.В. Скотаренко, для позднего мела [19].

В заключении следует отметить, что для районов, расположенных северо-восточнее описываемой территории, в бассейне среднего течения Ульи разработана иная схема стратиграфического расчленения вулканогенных образований [21].

Толщи вулканитов расчленяются на ульбериканскую свиту нижнего мела и верхнемеловые амкинскую, хетанинскую и уракскую свиты. Ульбериканская свита имеет преимущественно основной состав и хорошо коррелируется с ульбериканской свитой описываемого района. Амкинская свита сложена, главным образом, кислыми вулканитами и содержит флору, позволяющую предполагать позднемеловой возраст свиты. Хетанинская и уракская свиты состоят соответственно из основных и кислых вулканогенных пород.

Позднемеловая флора, собранная в породах амкинской свиты, характеризует лишь ее верхнюю часть. Не исключена возможность, что низы амкинской свиты имеют раннемеловой возраст и сопоставимы с магейской свитой. Такое предположение высказано Р.Б. Умитбаевым [21], проводившим исследования в бассейне среднего течения Ульи.

Выделенные на площади листа 0-54-XXI верхнемеловые кислые вулканиты, возможно, соответствуют верхним горизонтам амкинской свиты.

ЧЕТВЕРТИЧНАЯ СИСТЕМА

Четвертичные образования представлены нижнечетвертичными, среднечетвертичными, верхнечетвертичными и современными образованиями. Среди них выделяются аллювиальные, ледниковые, водно-ледниковые и морские отложения.

Нижнечетвертичные отложения ($Q_1?$)

К ним условно относятся аллювиальные и морские образования, сохранившиеся на поверхности 120-140-метровой морской и речной террасы.

Аллювиальные отложения сохранились на поверхности высокой (130-140 м) террасы в приусьевой части Турманда и Нерукчана, где прослеживаются на протяжении 2 км при мощности 1-3 м. Они представлены галечниками, валунами и песками. Галька размером 5-10 см хоро-

шей окатанности состоит на 90% из вулканогенных пород (андезитовые порфириты, лишиевые порфириты и их туфы) и на 10% из гранитоидов. Заполнитель - глинистый или грубозернистый песок. Присутствие в составе спорово-пыльцевого спектра описываемых отложений пыльцы экзотического вида сосны *Pinus* секц. *Strabas*, по заключению Г.Н. Шиловой, указывает на то, что они сформировались, вероятнее всего, в конце раннечетвертичного времени.

Морские образования сохранились в понижениях цоколей 120-метровой морской террасы к юго-западу от устья Тукчи, представлены песчано-галечными и песчаными отложениями мощностью I-I,5 м. Галечник мелкий с хорошо окатанной галькой вулканогенных пород кислого и основного состава размером 2-8 см. Песок глинистый кварцево-полевошпатовый, содержащий гравий и мелкую гальку.

Среди морских песков и галечников обнаружен бедный спорово-пыльцевой комплекс, не позволяющий сделать определенный вывод о их возрасте. Раннечетвертичный возраст отложений морской 120-метровой террасы установлен на основании одинакового гипсометрического положения морских и аллювиальных террас.

Среднечетвертичные отложения (Q_1^2)

К ним относятся аллювиальные, ледниковые и водно-ледниковые образования.

Аллювиальные отложения слагают II надпойменную террасу высотой 15-30 м, которая встречается на отдельных участках в долинах рек Улья, Этанджа, Тукчи, Турманда, Муй. Ширина террас обычно не превышает 1 км, протяженность 4 км. Отложения представлены валунно-галечным материалом различного петрографического состава (туфы лишиевые, дайтового состава, андезитовые порфириты). Заполнитель: бурая супесь, песок, суглинок. Мощность 6-9 м. В спорово-пыльцевых спектрах аллювиальных отложений преобладает пыльца древесных пород (сосны, кедрового стланика, березы), в меньшей степени, пыльца травянистых, что свидетельствует о сравнительно суровом климате в период осадконакопления. Найдены спор зеленых мхов (*Briales*) по заключению В.А. Онищенко характеризуют среднечетвертичный возраст.

Ледниковые и водно-ледниковые образования наиболее широко развиты в верховых рек Турманда и Муй. Они представлены несортированными валунами и полуокатанными глыбами (размером до 2 м) вулканогенных пород и гранитоидов, сцепленными суглинисто-песчаными отложениями ржаво-бурового цвета. На поверхности валунов обычны ледниковая штриховка и "шрамы". Отложения слагают боковые гряды и холмисто-грядовую поверхность вдоль бортов и истоков долин. Мощность их в верховых Муй не менее 20-30 м. В центральных частях долин ледниковые отложения постепенно переходят в водно-ледниковые. Послед-

ние представлены плохо сортированными косослоистыми полимиктовыми песками желто-бурового цвета с рассеянной в них галькой и валунами. Мощность водно-ледниковых образований 15-20 м. В истоках р.Муй ледниковые отложения перекрыты мореной верхнечетвертичного оледенения с четким ледниковым грядовым микрорельефом. На этом основании описываемые ледниковые и водно-ледниковые отложения отнесены к образованиям среднечетвертичного оледенения. Ледниковые и водно-ледниковые отложения также содержат споры *Briales*.

Верхнечетвертичные отложения (нижняя часть Q_1^1)

Они представлены аллювиальными, ледниковыми, водно-ледниковыми и морскими образованиями.

Аллювиальные образования слагают II надпойменную террасу высотой 6-10 м, которая развита фрагментарно в долинах Тукчи, Улья, Эстанжи, Энерды, Турмачана и Кохалмы, где представлены песчано-гравийным материалом с редкими прослойями галечника. Гравийный песок разнозернистый полимиктовый среднесортированный красновато-коричневого цвета. В галечниках преобладает галька II класса окатанности, отвечающая по составу гранодиоритам (90%), андезитовым порфиритам, фельзитам. Мощность аллювия 2,5-4,5 м. По правобережью Улья II надпойменная терраса вложена в III террасу, что свидетельствует о более молодом, чем среднечетвертичный, возрасте описываемых отложений.

Ледниковые и водно-ледниковые образования. Ледниковые отложения представлены валунноглибовым материалом с песчано-суглинистым заполнителем. Они слагают боковые и конечные моренные валы высотой 10-15 м в долинах левых притоков Турманджи. Ледниковые отложения в отдельных местах переходят в водно-ледниковые, слагающие террасу высотой 5-6 м. Последние представлены песками галечными, слабоглинистыми с валунами. Галька и валуны сложены вулканогенными образованиями и гранитоидами. Как уже говорилось выше, ледниковые и водно-ледниковые отложения перекрывают морену среднечетвертичного оледенения.

Морские отложения побережья Охотского моря распространены в устье Кохалмы, где они слагают морскую террасу высотой 6-8 м. Это галечные пески, валуники, характеризующиеся хорошей окатанностью обломочного материала и большим разнообразием эфузивных и интрузивных пород. Морские отложения переходят во II надпойменную террасу р.Кохалма. В спорово-пыльцевых спектрах морских отложений преобладает пыльца (60-90%) кустарниковой ольхи (*Alnaster*) и кедрового стланика (*Pinus pumila*), встречаются споры папортиков (*Polyopodiaceae*).

сеae), свидетельствующие о суровых климатических условиях осадконакопления. В отложениях II террасы в верхнем течении Май с аналогичным спорово-пыльцевым спектром В.Р.Алексеев обнаружил зуб *Elephas primigenius* (Blum.), указывающий на то, что эти отложения накапливались в первую половину позднечетвертичного времени.

Верхнечетвертичные отложения (верхняя часть Q_1^2)

Они представлены аллювиальными и морскими образованиями.

Аллювиальные образования слагают I надпойменную террасу высотой 2-4 м, широко распространены в бассейнах основных рек района и представлены галечниками, песками и валунными суглинками. Отложения состоят из хорошо окатанных и отсортированных галек и валунов, скрепленных красно-бурым суглинистым заполнителем, гравием с мелкой галькой, реже супесью. Мощность аллювия 1-4 м.

Морские отложения, распространенные на побережье Охотского моря, слагают прерывистые, но протяженные (до 4 км) участки четырехметровой террасы и представлены преимущественно пляжевыми галечниками с локальными линзами лагунных алевролитов и песков. Мощность этих образований не превышает 2-3 м. Отложения характеризуются хорошей сортировкой и окатанностью обломочного материала. Морские отложения в приустьевой части рек переходят в отложения I террасы. В спорово-пыльцевых спектрах как аллювиальных, так и морских образований присутствует пыльца кустарниковых форм ольхи (*Alnaster*), сосны (*Pinus sibirica Psilvestris*) и небольшое количество пыльцы вересковых (*Artemisia*) и папортиков (*Polyopodiaceae*). Позднечетвертичный возраст (вторая половина) описанных отложений устанавливается на основании того, что I терраса врезана во II надпойменную террасу, что наблюдается в долинах рек Улья, Тукчи и др. В свою очередь, в I террасу врезана пойма.

Современные отложения (Q_{1V})

К образованиям современного возраста относятся аллювиальные и морские галечники, пески, валуники, слагающие высокую и низкую пойму, русла рек и морской пляж. Отложения слабо cementированы и представлены хорошо окатанной галькой и валунами с песчаным заполнителем. Мощность современных отложений колеблется в пределах 1-4 м. В спорово-пыльцевом спектре преобладает пыльца *Larix*, *Ricea*, *Abies*, *Ericaceae* и разнотравья. Присутствуют споры сфагновых мхов и плаунов. Такой комплекс пыльцы и спор аналогичен современному.

Кроме того, формирование отложений продолжается в настоящее время. Это указывает на современный возраст описываемых образований.

ИНТРУЗИВНЫЕ ОБРАЗОВАНИЯ

Интузивные породы широко распространены в пределах описываемой территории. Наиболее широко распространены раннемеловые гранитоиды Джугджурского комплекса, среди которых выделяются породы двух основных и одной дополнительной фаз. Меньшим распространением пользуются позднемеловые граниты и палеогеновые долериты, а также субвулканические образования, генетически связанные с вулканитами^{x)}.

РАННЕМЕЛОВЫЕ ИНТРУЗИИ, ДЖУГДЖУРСКИЙ КОМПЛЕКС

Породы Джугджурского комплекса слагают Прибрежный массив, который занимает площадь около 1600 км² и вытянут в северо-восточном направлении. Массив сложен преимущественно гранитоидами среднего и кислого состава, слагающими его центральную часть, а также наиболее глубоко эродированные участки в краевой зоне, сложенной обычно диоритами и кварцевыми монцонитами. Вблизи побережья встречаются участки, сложенные габброидами.

В большинстве случаев контакты массива с вмещающими вулканогенными образованиями пологие до 25–30°. Такие контакты наблюдаются в многочисленных коренных выходах на побережье Охотского моря и подтверждаются согласованностью границ массива с рельефом. В целом поверхность кровли массива полого погружается в северо-восточном направлении.

Массив характеризуется слабой эродированностью, очень часто в его пределах наблюдаются различные по площади и глубине провесы кровли и многочисленные ксенолиты. Вмещающие массив вулканиты, как правило, органикованы.

Предположения о строении массива на глубине можно получить из анализа магнитного поля, которое в пределах массива неоднородно. Большая, южная часть его характеризуется неспокойным магнитным полем с резкими колебаниями значений напряженности от 0 до 22,5 мЭ.

^{x)} Характеристика химического состава интузивных пород и геохимических особенностей различных разностей приведены в табл. 4 и 5. Выводы по химизму пород приведены в конце раздела при рассмотрении различий разновозрастных интузивных образований.

Северная часть массива отличается спокойным, преимущественно отрицательным магнитным полем с колебаниями напряженности от -3 до +3 мЭ. При этом граница между различными полями резкая, линейная. Она прослеживается от устья Усмучан на северо-восток к среднему течению р. Муй и далее на восток к побережью Охотского моря в виде дуги, слабо выпуклой к северу. Несомненно, эта граница обусловлена крупным скрытым разломом.

В распределении пород и строении массива на современном эрозионном срезе эта граница не проявлена и различие магнитных полей, вероятно, обусловлено глубинным строением массива. Возможно, южнее разлома массив погружается на значительную глубину, а севернее разлома он представляет собой гигантскую пластину, залегающую почти горизонтально.

В составе Джугджурского комплекса выделяются две фазы. Первая представлена габбро и габбро-диоритами, вторая – гранодиоритами, гранитами, кварцевыми диоритами, диоритами и кварцевыми монцонитами. Между породами различных фаз наблюдаются резкие рвущие контакты. В то же время теснейшая пространственная связь, близость химизма и геохимических особенностей позволяют уверенно объединять перечисленные выше породы в единый интузивный комплекс.

Дополнительная интузивная фаза Джугджурского комплекса представлена мелковзернистыми гранитами, гранит-порфирами, гранодиорит-порфирами и диоритовыми порфиритами, слагающими малые тела, жилы и дайки.

Первая интузивная фаза – габбро (V_K_1) и габбро-диориты ($\text{V}_\delta K_2$)

Габбро и габбро-диориты, связанные постепенными переходами, образуют несколько небольших выходов в южной части района близ побережья в бассейнах Мирмалана и Иркаркана. Форма выходов неправильная, осложненная многочисленными разломами. Размер наиболее крупного тела 35 км². Тела габброидов прорываются гранитоидами второй интузивной фазы и, по существу, являются ксенолитами.

Эзоконтактовые изменения выражены в рассланцевании, эпидотизации, реже пиритизации вмещающих вулканогенных пород. Обычно средне-крупновзернистые породы становятся микровзернистыми.

Габбро, габбро-диориты – породы темно-зеленого, серо-зеленого цвета, массивные, сложены плагиоклазом (40–70%), роговой обманкой (20–50%), пироксеном (до 7%), кварцем (до 5%). Среди акцессорных минералов встречаются апатит, циркон, титаномагнетит, ильменит, гранат, пирит, галенит, молибденит, халькопирит. В габбро-диоритах

уменьшается количество темноцветных и рудных акцессорных минералов (титаномагнетита, ильменита и др.), плагиоклаз становится более кислым – от андезин-лабрадора № 45-55 (в габбро) до андезина № 38-48 (в габбро-диоритах). Он образует таблитчатые лейсты, полисинтетически сдвойниковые, часто зональные. Повсеместно по плагиоклазам развиваются соссирит и эпидот, иногда мелкочешуйчатый биотит. Роговая обманка слагает короткопризматические кристаллы, обычно хлоритизированные. Оптические константы: $Ng = 1,667$; $Np = 1,650$; $Ng - Np = 0,017 \pm 0,002$; $c: Ng = 18-19^\circ$; плеохроизм Np – светло-зеленый, Ng – буро-зеленый. Моноклинный пироксен наблюдается в виде редких реликтов среди роговой обманки. Изредка встречаются кристаллы неправильной, таблитчатой формы зеленоватого цвета ($Ng = 1,730$; $Np = 1,704$; $Ng - Np = 0,026 \pm 0,002$; $c: Ng = 43^\circ$). Вторичные минералы – роговая обманка, хлорит.

Структура пород габбровая, призматически зернистая, местами орбитовая. Химический состав габбро (табл. 4) сходен со средним составом габбро, по Дэли.

Вторая интрузивная фаза

гранодиориты и граниты ($\gamma\delta$), диориты и кварцевые диориты (δ), кварцевые монцониты (ξ)

Породы второй фазы Джугджурского комплекса представлены широким набором гранитоидов. Как уже отмечалось выше, обычно наиболее глубоко зрогированные и центральные части массива сложены гранодиоритами и гранитами. Краевые зоны представлены диоритами, кварцевыми диоритами и кварцевыми монцонитами, быстро сменяющимися друг друга. Для них типичны мелковзернистые, разнозернистые, порфировидные структуры в отличие от равномернозернистых структур гранитов и гранодиоритов. По-видимому, гранодиориты и граниты отвечают главной фации, тогда как остальные породы являются контактовой фацией. Все эти разности пород связаны постепенными переходами.

Вулканогенные образования на контакте с гранитоидами второй фазы подверглись интенсивному kontaktовому метаморфизму. Разности дацитового и андезитового состава превращены в темные кварц-биотитовые или кварц-амфиболовые роговики, ширина зон которых обычно составляет первые метры и первые десятки метров, а на участках наиболее пологих контактов достигает первых сотен метров. По кислым породам развиваются кварц-полевошпатовые роговики, ширина зон которых достигает 500 м. К числу экзоконтактовых изменений относится также окварцевание, биотитизация, эпидотизация, наблюдающиеся в ксенолитах кровли. Иногда в зоне экзоконтакта эфузивы превращены во вторичные кварциты, импрегнированные пиритом и сопровождающиеся

зонами хлоритизации, эпидотизации, карбонатизации. В эндоконтактных зонах наблюдается окварцевание и биотитизация.

Гранодиориты слагают большую часть Прибрежного массива. Они широко развиты в бассейнах рек Уганкан, Турмачан, Муй, Намганджа, Тукчи и Этанджа. Это светло-серые, зеленовато-серые породы, средне- и крупнокристаллические равномернозернистые, иногда порфировидные, состоящие из плагиоклаза (40-60%), калиевого полевого шпата (10-15%), кварца (20%), биотита (до 20%), роговой обманки (5-20%) и акцессорных минералов (3-5%). Среди последних встречаются апатит, анатаз, гранат, ильменит, магнетит, молибденит, сфен, турмалин, халькопирит, циркон, шеелит. Структура пород гипидиоморфнозернистая. Плагиоклаз – олигоклаз-андезин № 26-38 образует кристаллы таблитчатой формы, полисинтетически сдвойниковые. Около 50% всех кристаллов зональные. Зональность сложная. Калиевый полевой шпат представлен выделениями микроклина неправильной формы, ксеноморфными по отношению к плагиоклазу и темноцветным минералам. Кварц образует зерна неправильной формы с волнистым угасанием. Роговая обманка наблюдается в виде столбчатых выделений зеленого цвета ($Ng = 1,672$; $Np = 1,651$; $Ng - Np = 0,021 \pm 0,002$; $c: Ng = 16^\circ$; $2V = 80-85^\circ$). Плеохроизм от светло-желтого по Np до темно-зеленого по Ng . Биотит представлен уединенными листочками светло-желтого, зеленовато-желтого цвета с отчетливым плеохроизмом. Вторичные минералы – соссирит, серцит, хлорит, эпидот. Химический состав пород (табл. 4) близок к среднему типу гранодиоритов, по Дэли.

Граниты. Отдельные небольшие участки гранитов, не выражавшиеся в масштабе карты, встречаются среди гранодиоритов в бассейнах рек Мунгая, Намганджа. Наиболее часто они наблюдаются в приуставной части р. Тукчи. Представлены биотитовыми разностями светло-серого цвета, среднезернистой или крупнозернистой структуры. Порода сложена плагиоклазом (олигоклаз № 20, часто зональный) – 25-30%, калиевым полевым шпатом (микроклином) – 25-35%, кварцем – 35-40%, биотитом – 3-7% и акцессорными минералами – 2-3%. Акцессорные минералы представлены апатитом, гранатом, ильменитом, магнетитом, ортитом, шеелитом, турмалином, халькопиритом, цирконом. Структура пород гипидиоморфнозернистая. С гранодиоритами граниты связаны постепенными переходами.

Диориты и кварцевые диориты встречаются среди гранодиоритов чаще, чем граниты. Они развиты в бассейнах рек Турманджа, Этанджа и на юге района по побережью. Отдельные мелкие выходы диоритовых пород встречены в бассейне Тукчи.

Кварцевые диориты и диориты представляют собой разнозернистые или порфировидные породы серого, темно-серого и зеленовато-серого

Таблица 3

Место взятия пробы	№ на карте	Породы	Возраст в млн. лет	Количества в %	Количество Ar^{40} в %	Аг воздушный в %	$\frac{\text{Ar}^{40}}{\text{K}^{40}}$
Устье р. Тукчи	I0	Диорит	I08	2,68	I9,9	32,6	0,0062
р. Муй	II	Гранодиорит	I25	1,78	I5,3	I4,7	0,0072
р. Уганкан	I2	Кварцевый монцонит	I36	2,49	23,7	I0,7	0,0079

Дополнительная интрузивная фаза -
мелкозернистые граниты (γ), гранит-порфиры ($\gamma\delta$),
гранодиорит-порфиры ($\delta\delta$), диоритовые порфириты ($\delta\delta'$)

К породам дополнительной фазы Джугджурского комплекса относятся малые интрузии - штоки и многочисленные жилы и дайки. Состав жильных пород варьирует от кислых до средних. Непосредственных взаимоотношений между дайками различного состава не наблюдалось из-за пространственной их разобщенности. Жильные образования прорывают гранитоиды первой и второй интрузивных фаз.

Мелкозернистые граниты образуют небольшие штоки ($2-5 \text{ км}^2$) и дайки мощностью 0,5-3 м и протяженностью до 2 км. Наиболее часто они встречаются в бассейнах рек Турманджа, Уганкан, Турмачан, Бол. Кохалма, Иркаркан. Штоки контролируются мелкими разломами различных направлений. Дайки встречаются спорадически и лишь в северо-западной части территории образуют пояс шириной 2-3 км, вытянутый в меридиональном направлении. Мелкозернистые граниты плотные часто аплитовидные лейкократовые породы серовато-розового, розового цвета. Их состав: олигоклаз - 15-25%, калиевый полевой шпат - 40-60%, кварц - 20-30%, биотит - 5-10%, роговая обманка - 0-5%. Аксессорные минералы - алатит, циркон, шеелит, ортит, гранат, магнетит, ильменит, сфен. Структура аплитовая и гранитовая.

Гранит-порфиры, гранодиорит-порфиры, диоритовые порфириты образуют небольшие штоки (площадью до $0,1 \text{ км}^2$) и дайки мощностью 0,2-3 м, прослеживающиеся по простирианию от 50 до 2 км. Наиболее крупные штоки встречены в бассейне верхнего течения Тукчи. Дайки развиты по всей площади района и образуют скопления в зоне экзоконтакта крупных провесов кровли. Наиболее насыщенные дайками поля известны в верховьях рек Уганкан, Турмачан.

цвета, состоящие из плагиоклаза - 50-65%, микроклина - 0-10%, кварца - 0-20%, биотита - 0,5%, роговой обманки - 20-35%, пироксена - 5-15% и акцессорных минералов: алатита, граната, ильменита, магнетита, молибденита, рутила, сфена, халькопирита, циркона, шеелита.

Плагиоклаз отвечает по составу андезину № 40-45 в разнозернистых разностях и андезину № 30-34 в диоритах порфировидной структуры. Обычно это идиоморфные кристаллы таблитчатой формы, сдвойникованые по альбитовому и карлсбадскому законам, часто зональные. Зональность сложная. Вторичные изменения - соссиритизация, хлоритизация. Микроклин, слабо пелитизированный, наблюдается в форме редких ксеноморфных зерен, корродирующих плагиоклаз и темноцветные минералы. Кварц - мозаичный, присутствует преимущественно в кварцевых диоритах. Биотит образует отдельные выделения неправильной формы, характеризующиеся отчетливым плеохроизмом от светло-желтого до бурого. Роговая обманка - светло-зеленая, наблюдается в форме идиоморфных столбчатых кристаллов ($\text{Ng} = 1,667-1,672$; $\text{Nr} = 1,650$; $\text{Ng-Nr}=0,017-0,022$; $c:\text{Ng}=16^\circ$; $2V=80-85^\circ$). Моноклинный пироксен образует мелкие зеленоватые кристаллы таблитчатой формы, $\text{Ng} = 1,733$; $\text{Nr} = 1,703$; $\text{Ng-Nr}=0,030\pm 0,002$; $c:\text{Ng}=40^\circ$. По периферии нередко замещается роговой обманкой, хлоритом.

Кварцевые монцониты. Наиболее крупное поле этих пород площадью 20 км^2 отмечено в среднем течении р. Уганкан. Мелкие выходы известны в долинах рек Турманджа и Иркаркан. Это темно-серые породы среднозернистые, сложенные плагиоклазом - 40-50%, микроклином - 30-40%, кварцем - 5-20%, биотитом - 5-10%, роговой обманкой - 5-10% и акцессорными минералами - 3-5%, среди которых установлены алатит, гранат, ильменит, магнетит, ортит, пирит, сфен, рутил, циркон.

Плагиоклаз - андезин № 40-44 представлен полисинтетически сдвойникованными кристаллами, часть из которых имеет прямую зональность. Микроклин встречается в форме неправильных выделений с четкими перититами распада. Кварц образует зерна, обладающие мозаичным угасанием, часто наблюдается в срастаниях с калиевым полевым шпатом. Биотит отмечается в виде лейст, плеохроирующих от светло-желтого до темно-коричневого цвета. Роговая обманка образует столбчатые кристаллы ($\text{Ng} = 1,651$; $\text{Nr} = 1,634$; $\text{Ng-Nr}=0,017\pm 0,002$; $c:\text{Ng}=20^\circ$).

В пределах территории листа гранитоиды Джугджурского комплекса прорывают нижнемеловую магейскую свиту, а также содержатся в гальке базальных конгломератов верхнемеловой толщи (бассейн р. Агинкан). На этом основании их возраст считается раннемеловым.

Определение абсолютного возраста калий-argonовым методом по породе дало следующие результаты, приведенные в табл. 3.

Таблица 4

Химический состав интрузивных пород

Ком- по- не- ни- ти	Джульбарский комплекс						Позднемеловые интрузии						Палеоге- новые интрузии			
	Первая фаза			Вторая фаза			Дополнительная фаза			Граниты			Граниты			
	Габро- диориты (8 проб)	Граноди- ориты (9 проб)	Граниты (19 проб)	Кварцевые диориты и монцониты (18 проб)	Кварцевые диориты (6 проб)	Граниты (4 проб)	Албито- диориты (3 проб)	Албито- диориты (3 проб)	Субме- лочные порфирь (3 проб)	Фирикты (12 проб)	Граниты (12 проб)	Долериты (1 проб)	Долериты (1 проб)	Долериты (1 проб)	Долериты (1 проб)	
I	2	3	4	5	6	7	8	9	10	11	12	13	14	15	16	17
S10 ₂	46,85	67,57	69,37	58,85	63,04	71,95	64,31	59,19	73,16	74,42	54,52					
Ti10 ₂	0,78	0,34	0,30	0,57	0,54	0,33	0,47	0,61	0,20	0,24	0,59					
Al ₂ O ₃	18,86	15,66	15,32	17,65	16,44	14,45	16,51	17,05	13,84	13,72	18,59					
Fe ₂ O ₃	4,84	1,37	0,95	2,14	2,25	0,78	2,45	2,98	0,95	0,68	4,31					
FeO	6,25	2,51	1,93	3,98	2,57	1,80	1,91	3,24	1,34	0,59	4,23					
MnO	0,18	0,10	0,10	0,19	0,14	0,07	0,11	0,21	0,09	0,02	0,15					
MgO	7,20	1,42	1,16	3,19	2,17	0,64	1,80	3,04	0,58	0,28	3,55					
CaO	10,54	3,44	2,51	6,43	4,17	1,00	3,48	4,93	1,29	1,50	6,75					
Na ₂ O	2,20	3,65	3,95	3,54	4,43	3,51	3,65	3,69	3,45	4,86	3,14					
K ₂ O	0,76	3,00	3,54	2,23	3,58	4,17	3,04	3,07	4,58	3,55	2,30					

I	2	3	4	5	6	7	8	9	10	II	Палеоге- новые интрузии			
											Граниты	Граниты	Граниты	
P ₂ O ₅	0,25	0,19	0,12	0,24	0,32	0,06	0,06	0,26	0,07	0,09	0,32			
SiO ₂	0,01	0,02	0,01	0,03	0,01	0,06	0,06	0,01	0,09	-	0,02			
Al ₂ O ₃	1,66	0,49	0,42	0,18	0,45	0,75	1,69	1,07	0,34	0,10	1,18			
CaO	100,38	99,76	99,68	100,22	100,11	99,51	99,55	99,35	99,98	100,05	99,65			
H ₂ O	0,37	0,15	0,19	0,35	0,22	0,20	0,65	0,44	0,16	0,05	0,22			
CaO	0,39	0,32	-	0,07	-	0,11	0,41	-	0,10	0,41				
a	6,7	12,4	13,9	II,3	14,9	13,1	12,8	13,0	13,7	15,2	10,1			
c	10,8	4,2	3,0	6,5	3,5	1,2	4,3	5,3	1,5	1,2	7,1			
b	21,3	6,2	5,1	B,I	9,7	6,5	8,3	12,1	4,1	2,0	21,3			
s	61,2	77,2	78,0	69,1	71,9	79,2	74,6	69,6	80,7	81,6	61,5			
a'	-	3,3	9,2	-	-	47,1	14,2	-	27,5	-	-			
f	54,5	52,8	52,8	45,7	46,5	36,7	48,3	49,1	50,0	51,7	67,8			
m	28,4	38,5	38,0	42,5	38,0	16,2	37,5	43,4	22,5	22,5	27,8			
c'	17,1	-	-	II,8	15,5	-	-	7,5	-	25,8	14,4			
n	85,1	64,3	62,8	70,8	65,4	55,9	64,4	64,8	53,4	67,5	68,0			
y	21,8	18,7	15,8	14,5	19,7	7,5	25,8	22,0	19,4	25,8	17,0			
t	1,2	0,4	0,3	0,7	0,6	0,4	0,6	0,8	0,3	0,3	0,9			
q	-1,8	25,4	25,2	9,1	10,5	30,7	21,1	7,9	32,2	31,6	4,3			
a/c	0,6	3,0	4,5	1,7	4,3	10,7	3,0	2,5	9,1	12,1	1,4			

Содержание микроэлементов в петрологических породах

Породы	Кол-во проб:	Zn	Fe	Mn	Cu	Ni	V	Co	Cr	Mo	Zr	Mo	Nb	Ta	W	Ga	Ge	Sn	Be	Sc	Y	Sr	Ca	Ba	
Средние содержания во																									
А.П. Виноградову																									
a) габбро	~	0,016	0,0045	0,02	0,002	0,00014	0,01				0,002	0,01													0,0008
б) граниты, гранодио-			0,0048	0,004	0,0025	0,001	0,02				0,002	0,002													0,002
риты чувствительной																									
ти анализа																									0,001
Духгусский комплекс:																									0,0002
а) габброниты I фазы	5	0,001	0,001	0,001	0,001	<0,001	0,001	<0,001	0,001	0,001	0,0004	0,0004	(0,0009)	0,0004	(0,0009)	(0,0009)	(0,0009)	(0,0009)	(0,0009)	(0,0009)	(0,0009)	(0,0009)	(0,0009)	0,0002	
б) гранитоиды II фазы			0,0022	0,0028	0,0062	0,009	0,01	0,015	0,015	0,015	0,015	0,015	0,015	0,015	0,015	0,015	0,015	0,015	0,015	0,015	0,015	0,015	0,015	0,0014	
в) гранитоиды III фазы			0,0002	0,0015	0,0078	0,0024	0,0006	0,0011	0,0011	0,0011	0,0011	0,0011	0,0011	0,0011	0,0011	0,0011	0,0011	0,0011	0,0011	0,0011	0,0011	0,0011	0,0011	0,0014	
г) гранит-порфир, гра-			2,50	3,00	1,95	1,60	6,00	6,00	6,00	6,00	6,00	6,00	6,00	6,00	6,00	6,00	6,00	6,00	6,00	6,00	6,00	6,00	6,00		
нодорит-порфир до-																									0,70
полнитовой фазы																									0,0014
Позднемеловые граниты	29	1,75	2,40	1,25	1,00	4,00	4,00	0,0006	0,0006	0,0006	0,0006	0,0006	0,0006	0,0006	0,0006	0,0006	0,0006	0,0006	0,0006	0,0006	0,0006	0,0006	0,0006		
Палеогеновые долериты	10	2,62	2,62	1,30	1,27	0,6047	0,6001	0,6001	0,6001	0,6001	0,6001	0,6001	0,6001	0,6001	0,6001	0,6001	0,6001	0,6001	0,6001	0,6001	0,6001	0,6001	0,6001		
		0,16	0,36	1,35	0,24	0,71	0,71	0,22	0,75	0,75	0,75	0,75	0,75	0,75	0,75	0,75	0,75	0,75	0,75	0,75	0,75	0,75	1,62		

Средние содержания по

Породы	Кол-во проб:	Zn	Fe	Mn	Cu	Ni	V	Co	Cr	Mo	Zr	Mo	Nb	Ta	W	Ga	Ge	Sn	Be	Sc	Y	Sr	Ca	Ba	
А.П. Виноградову																									
(I962 г.):																									
a) габбро	~	0,013	0,0015	0,0018	0,0004	0,0024	0,002				0,0002	0,0002													0,03
б) граниты, гранодио-			0,006	0,0063	0,002	0,0035	0,0003	0,0034	0,0034	0,0034	0,0034	0,0034	0,0034	0,0034	0,0034	0,0034	0,0034	0,0034	0,0034	0,0034	0,0034	0,0034	0,0034	0,083	
риты чувствительности																									0,01
анализа																									
Духгусский комплекс:																									
а) габброниты I фазы	5	0,004	(0,0003)	0,0012	(0,0003)	7,50	0,13	0,45	0,67	0,67	0,001	0,004	0,001	0,001	0,004	0,004	0,004	0,004	0,004	0,004	0,004	0,004	0,004	0,004	
б) габброниты II фазы	110	0,31	0,20	0,67	0,001	0,0004	0,0004	0,0004	0,0004	0,0004	0,0004	0,0004	0,0004	0,0004	0,0004	0,0004	0,0004	0,0004	0,0004	0,0004	0,0004	0,0004	0,0004	0,010	
в) гранит-порфир, гра-		1,28	1,33	0,50	0,73	1,33	0,29	1,00	0,27	0,27	1,00	0,27	1,00	0,27	1,00	0,27	1,00	0,27	1,00	0,27	1,00	0,27	1,00	0,24	
нодорит-порфир до-			0,04	0,004	0,0011	0,0004	(0,0003)	(0,0003)	(0,0003)	(0,0003)	(0,0003)	(0,0003)	(0,0003)	(0,0003)	(0,0003)	(0,0003)	(0,0003)	(0,0003)	(0,0003)	(0,0003)	(0,0003)	(0,0003)	(0,0003)	0,019	
полнитовой фазы			0,67	1,33	0,55	1,91	1,0	0,27	1,0	0,27	1,0	0,27	1,0	0,27	1,0	0,27	1,0	0,27	1,0	0,27	1,0	0,27	1,0	0,24	
Позднемеловые граниты	29	0,08	0,004	0,0009	0,0004	(0,0003)	(0,0003)	(0,0003)	(0,0003)	(0,0003)	(0,0003)	(0,0003)	(0,0003)	(0,0003)	(0,0003)	(0,0003)	(0,0003)	(0,0003)	(0,0003)	(0,0003)	(0,0003)	(0,0003)	(0,0003)	0,02	
Палеогеновые долериты	10	0,03	0,004	0,0014	0,0005	0,0003	0,0003	0,0003	0,0003	0,0003	0,0003	0,0003	0,0003	0,0003	0,0003	0,0003	0,0003	0,0003	0,0003	0,0003	0,0003	0,0003	0,0003	0,024	
		0,23	2,66	0,78	12,5	0,13	0,5	0,5	0,5	0,5	0,5	0,5	0,5	0,5	0,5	0,5	0,5	0,5	0,5	0,5	0,5	0,5	0,5	0,5	

x) В числителе указаны содержания микроэлементов, в знаменателе - их отношение к кальку;
 в скобки заключены значения, слизкие к порогу чувствительности анализа. Анализы выполнены в лаборатории объединения "Геологогипротект" Б.И.Кабедиловым.

Породы характеризуются порфировой структурой, цвет их меняется от светло-серого у гранит-порфиров до зеленовато-серого и зеленого у диоритовых порфиритов. Количество вкрапленников колеблется в пределах 10-50% породы. Основная масса обычно плохо раскристаллизована, поэтому качественный минералогический состав в большинстве случаев определяется лишь приблизительно.

Породы состоят из плагиоклаза (20-50%), калиевого полевого шпата (25-50%), кварца (10-30%), биотита (0-15%), роговой обманки (0-15%). Аксессорные минералы представлены магнетитом, сфером, апатитом, цирконом, ортитом, шеелитом. Структура основной массы аллотриоморфозернистая и микроаллотриоморфозернистая. Вкрапленники представлены в гранит-порфирах плагиоклазом (олигоклаз № 12-20), калиевым полевым шпатом и кварцем; в гранодиорит-порфирах и диоритовых порфиритах - плагиоклазом (андезином № 30-36), роговой обманкой, биотитом. Плагиоклаз во вкрапленниках слагает таблитчатые полисинтетически сдвойниковые кристаллы. По минералу развивается серцит. Калиевый полевой шпат образует симплектитовые сростки с кварцем неправильной формы, интенсивно пелитизирован. Кварц во вкрапленниках встречается в виде изометрических кристаллов, в основной массе слагает зерна неправильной формы. Чистый с волнистым и мозаичным угасанием. Биотит представлен таблитчатыми кристаллами, плеохроирующими от густо-коричневого до светло-желтого цвета. Минерал хлоритизирован, иногда нацело замещен хлоритом и мусковитом. Роговая обманка образует призматические кристаллы, плеохроирующие от зеленого до светло-зеленого цвета, двупреломление - 0,015-0,018. Замещается эпидотом, хлоритом и магнетитом.

Контакты жильных пород с вмещающими ровные, четкие. В экзоконтактах даек наблюдаются зоны закалки шириной до 10 см, интенсивная эпидотизация и слабое окварцевание. В эндоконтактах иногда наблюдается уменьшенное количество вкрапленников, афанитовое строение основной массы.

Рассмотренные жильные образования пространственно тяготеют к гранитоидам Джугджурского комплекса, прорывая их. Среди более молодых гранитоидов они не встречаются. Эти наблюдения, а также сходство петрохимического состава даек и гранитоидов второй интрузивной фазы дают основание предполагать о генетической связи жильной серии с джугджурскими гранитоидами. Данные абсолютного возраста мелкозернистых гранитов и гранит-порфиров, определенные калий-argonовым методом по породе, приведены в табл. 6.

Таблица 6

Место взятия пробы	№ на карте	Породы	Возраст в млн. лет	Количество K в %	Количество Ar ⁴⁰ в %	Количество Ar ⁴⁰ в %	Ar ⁴⁰ k ⁴⁰
р. Усмук	I3	Гранит мелкозернистый	102	4,39	30,7	17,1	0,0058
Левобережье Ульи	I4	Гранит-порфир	105	2,59	21,2	5,0	0,0060
р. Иркаркан	I5	Гранит мелкозернистый	108	3,24	24,1	13,2	0,0062
Левобережье Ульи	I6	Гранит-порфир	112	4,08	31,2	3,33	0,0064

ПОЗДНЕМЕЛОВЫЕ ИНТРУЗИИ

Граниты и субшелочные граниты (χK_2)

Позднемеловые граниты формируют несколько небольших массивов. Наиболее крупные из них известны в бассейнах рек Уганкан, Бол. Кохалма, Ирганкан и Турманда. Граниты прорывают интрузивные породы Джугджурского комплекса и нижнемеловые эфузивы.

Граниты и субшелочные граниты представляют собой светло-серые, розоватые крупно- и среднезернистые породы, нередко аplitовидные. Между гранитами и субшелочными гранитами наблюдаются частые постепенные переходы. Минералогический состав гранитов: олигоклаз 15-20% (не более 10% всех кристаллов плагиоклаза имеют прямую зональность), калиевый полевой шпат (ортоклаз) 40-50%, кварц 30-40%, биотит 5-10%. Аксессорные минералы - гематит, магнетит, ильменит, рутил, халькопирит, анатаз, сфер, апатит, циркон, ортит, циркоилит, малакон, гранат. В субшелочных гранитах увеличивается количество ортоклаза до 50-60% и уменьшается количество олигоклаза до 5-10%, обычно также уменьшается количество биотита до 3-5%. Структура пород гипидроморфозернистая, местами пегматитовая. Ортоклаз образует неправильные реже таблитчатые кристаллы. Часто наблюдаются ленточные и пятнистые перититы распада, интенсивно развита пелитизация. Олигоклаз № 8-16 представлен полисинтетически сдвойниками слабо идиоморфными кристаллами. Местами по плагиоклазу развивается серцит. Повсеместно наблюдается замещение плагиоклаза с периферии калиевым полевым шпатом. Кварц присутствует в виде кристаллов неправильной

формы, чистый, с мозаичным угасанием. Биотит образует лейсты, плеохроирует от зеленовато-коричневого до светло-желтого цвета, по трещинкам замещается хлоритом.

Экзоконтактовое воздействие гранитов и субщелочных гранитов на гранитоиды Джульджурского комплекса выражается в калиптизации плагиоклазов в зоне шириной до 20 м. По вмещающим эфузивным породам развивается кварц-полевошпатовые роговики, образующие ореолы шириной до 400 м. Часто наблюдаются кальцит-эпидотовые прожилки, интенсивная хлоритизация и эпидотизация.

Позднемеловой возраст гранитов и субщелочных гранитов определяется на основании того, что они прорывают породы второй фазы Джульджурского комплекса. Абсолютный возраст, определенный калий-argonовым методом по породе приведен в табл. 7.

Таблица 7

Место взятия пробы	# на карте	Породы	Возраст в млн. лет	Количества K в %	Количества Ar ⁴⁰ в %	воздушный в %	$\frac{Ar^{40}}{K^{40}}$
р. Уганкан	17	Гранит	91	2,69	16,8	38,4	0,0052
р. Иркаркан	18	Гранит	110	2,95	22,4	4,27	0,0063
р. Иркаркан	19	Гранит	117	3,50	28,0	1,78	0,0067
р. Иркаркан	20	Гранит субщелочной	105	3,06	22,2	6,3	0,0060

Ранне- и позднемеловые интрузии отличаются по внешнему облику, типоморфным особенностям некоторых минералов, химизму.

Позднемеловые граниты и субщелочные граниты имеют более лейко-кристальный облик, для них характерна розоватая окраска, в то время как раннемеловые гранитоиды обычно окрашены в серые тона. Отличительным признаком джульджурских гранитоидов является эснальность плагиоклазов, отсутствие которой в плагиоклазах позднемеловых пород свидетельствует о более стабильных термодинамических условиях минералообразования. Для позднемеловых гранитоидов характерна калиптизация плагиоклазов. В отличие от джульджурских в позднемеловых гранитах и субщелочных гранитах отмечается значительно большее разнообразие морфологических форм циркона, что служит характерным признаком пород, претерпевших процесс метасоматоза. В них более разнообразны акцессорные минералы, наряду с цирконом присутствуют цит-

толит, малакон, чаще встречается орбит, в то же время отсутствует шеелит, характерный для раннемеловых гранитоидов.

Ранне- и позднемеловые гранитоиды имеют значимые различия и в химическом составе. Вторые отличаются от первых большей пересыщенностью кремнеземом, большими содержаниями железа и щелочей, меньшим количеством глинозема. В составе щелочей у позднемеловых гранитов большую роль играет калий. Главная (вторая) фазия раннемеловых гранитоидов сопровождается контаминированными разностями, среди которых преобладают породы более основные, чем исходный материал. Это объясняется преобладанием во вмещающих породах андезитов с подчиненным количеством липаритов. Характерно нарастание общей щелочности в молодых интрузивных образованиях, которое хорошо иллюстрируется результатами определения редких щелочей (табл. 8)^{x)}.

Таблица 8

Элементы	Джульджурский комплекс		Среднее содержание по А.Л. Виноградову (1962), кислые породы (граниты, гранодиориты)
	Гранитоиды второй фазы (42 пробы)	Гранитоиды дополнительной фазы (12 проб)	
Литий	0,00136/0,34	0,0013/0,32	0,00154/0,38
Натрий	2,69/0,97	2,78/1,00	2,86/1,03
Калий	2,86/0,85	3,51/1,05	3,27/0,98
Рубидий	0,0092/0,46	0,0113/0,57	0,0113/0,57
Цезий	0,00006/0,12	0,00012/0,24	0,00012/0,24
K/R 6	319	310	290

Интересно отметить повышенное значение калий-рубидиевого отношения в гранитоидах района по сравнению с кларком и уменьшение этого значения от ранне- к позднемеловым породам.

При анализе содержаний микроэлементов (см. табл. 5) обращает на себя внимание резко повышенное содержание молибдена во всех интрузивных породах, что указывает на геохимические предпосылки молиб-

^{x)} В числителе табл. 8 указаны содержания микроэлементов, в знаменателе - их отношения к кларку. Анализы выполнены методом пламенной фотометрии в лаборатории ИМГРЭ Л.А. Бусахиной и Л.И. Чакиковой.

деноносности гранитоидов Прибрежного массива. В распределении меди, свинца и цинка имеются дополнительные максимумы повышенных концентраций, что, по-видимому, связано с привносом этих элементов в породы в постмагматическую стадию.

Кроме того, спектролитометрическим анализом в джугджурских гранитоидах установлены повышенные содержания золота (0,002 г/т), что также характеризует металлогеническую специализацию этих пород [17].

ПАЛЕОГЕННЫЕ (?) ИНТРУЗИИ

Долериты (β Р?)

Палеогеновые долериты образуют дайки, штоки и силлы. Дайки прорывают вулканогенные породы и гранитоиды Джугджурского комплекса, мощность их 3–5 м, протяженность – сотни метров. Они располагаются, главным образом, вблизи разрывных нарушений часто заlewая их. Вдоль отдельных даек наблюдается окварцевание, апидотизация, пиритизация. Штоки долеритов известны в бассейне Ульи. Они имеют в плане изометричную форму диаметром 0,1–0,5 км. На контакте с ними андезиты магейской свиты приобретают шлакчатую отдельность, ориентированную параллельно контакту. В эндоконтактах долериты эпидотизированы и имеют афанитовое строение.

В бассейне Ульи в эфузивах магейской свиты наблюдаются силлы долеритов мощностью до 100 м. Контакты кровли скрыты мощными осыпями, поэтому отнесение этих тел к интрузивным образованиям, а не к эфузивам несколько условно. В пользу их интрузивной природы говорит пространственная сопряженность силлов со штоками.

Долериты – породы черного и темно-зеленого цвета мелкокристаллические с массивной текстурой. Вкраепленники составляют 5–10% породы и представлены плагиоклазом (лабрадор № 56–78), моноклинным пироксеном и энстатитом. Основная масса состоит из плагиоклаза (50–60%) и из пироксена (40–50%). Структура долеритовая, реже офитовая. Плагиоклаз представлен зональными полисинтетически сдвойниками таблитчатыми кристаллами, местами сильно сраставленными. Моноклинный пироксен окрашен в зеленоватые тона, двупреломление 0,024–0,030; угол угасания 40–42°. Энстатит встречается реже, бесцветный, двупреломление 0,009, угол оптических осей 60–66°. По пироксенам развивается хлорит и магнетит. Аксессорные минералы представлены магнетитом, апатитом, сフェном. Основная масса состоит из плагиоклаза (50–60%) и пироксена (40–50%), последний нацело замещен хлоритом и рудными окислами, иногда основная масса микрокристаллическая и даже стекловатая.

В пределах территории листа долериты прорывают раннемеловые гранитоиды Джугджурского комплекса. Северо-западнее, в бассейне р. Нёт, они слагают силлы среди эфузивов верхнемеловой хетанинской свиты [7]. В связи с тем, что в пределах Охотско-Чукотского вулканогенного пояса крупные проявления основного магматизма известны только в палеогене [3], описанные выше долериты условно считаются палеогеновыми.

СУБВУЛКАНИЧЕСКИЕ ОБРАЗОВАНИЯ (РАННЕМЕЛОВЫЕ)

Субвулканические образования пространственно и генетически связаны с вулканитами верхней подсвиты магейской свиты. В эту группу условно отнесены и единичные образования жерловой фации, наблюдавшиеся в верховых р. Нерукчан и р. Муй. По составу, особенностям строения и текстуры субвулканические образования близки к вмещающим их отложениям и представлены липаритовыми, липарит-дацитовыми порфирами, автомагматическими брекчиями липаритовых порфиров, андезитовых порфиритов. Контактового воздействия описываемых образований на вмещающие породы не наблюдается. Однако нередко субвулканические породы осветлены, окварцовены, пиритизированы под влиянием гидротермальных растворов, которые, по-видимому, связаны с ними.

Липаритовые порфирсы и автомагматические брекчии липаритовых порфиров (ЛПК_1), липарит-дацитовые порфирсы (ЛДК_1). Субвулканические липаритовые порфирсы слагают некки, пластовые тела и дайки в поле развития пород магейской свиты в бассейне Эйло, верховых р. Муй, правобережье Ульи, в верховых Нерукчана. Некки имеют овальную или округлую форму, площадь их колеблется от 0,1 до 1,4 км². Пластовые тела прослеживаются на первые сотни метров, мощность их не превышает первых метров. Протяженность даек десятки – первые сотни метров, мощность – первые метры. Наиболее крупный некк ($2 \times 0,7$ км²) отмечен в верховых р. Нерукчан. Вокруг некка в радиусе 2–2,5 км фиксируется бомбовые туфы, которые по мере удаления от некка сменяются грубообломочными туфами и игнимбритами, по составу аналогичными липаритовым порфиром некка. Последние представляют собой серые, светло-серые иногда сиреневые породы с порфировой структурой и пористой текстурой. На фоне мелкозернистой основной массы выделяются мелкие фенокристаллы светлого плагиоклаза и чешуйки биотита. Вкраепленники составляют 20–30% породы. Пустоты выполнены кварцем. Кварц-полевошпатовая основная масса липаритовых порфиров имеет микропойкилитовую-фельзитовую или микрофельзитовую структуру.

Лаеки и субпластовые тела липарит-дацитовых порфиров наблюдаются в верховых Кивангра и Учи среди андезитовых порфиритов верхней подсвиты магейской свиты. Мощность их от 1 до 12 м, протяженность составляет десятки - сотни метров. Угол падения лаек меняется в пределах от 10-15° до почти вертикального. Липарит-дацитовые порфириты - это светло-розовые или серые породы с тонкозернистой основной массой с вкраплениками олигоклаза и биотита. Встречаются порфировые и афировые разности. Тонкозернистая основная масса липарит-дацитовых порфиров сложена беспорядочно ориентированными листами плагиоклаза, калиевым полевым шпатом и мелкими зернами кварца. В подчиненном количестве присутствуют биотит, пироксен и магнетит.

Автомагматические брекции липаритовых порфиров слагают небольшой шток (50-70 м в диаметре) на правом берегу р.Муй. Они представляют собой светлую желтую, местами розоватую породу, состоящую из оплавленных обломков тонкофлюидального липаритового порфира, сцепленных аллотриоморфно-зернистым кварцевым агрегатом. Размер обломков достигает 7-10 см, количество их составляет до 65-70% породы. Специфический петрографический облик, большое количество обломков неправильной формы, оплавленность их, шточообразная форма тела позволяют классифицировать описываемые образования, как автомагматические брекции экструзивного характера.

Автомагматические брекции андезитовых порфиритов (M_K_1) встречаются в истоках р.Нерукчая среди образований верхней подсвиты магейской свиты в небольшом некке диаметром около 50 м. Порода темно-серого цвета, массивной текстуры с многочисленными раздробленными фенокристаллами и обломками плагиоклаза (30%), роговой обманки (10%), биотита (2-3%) и пироксена (2-3%). Плагиоклаз представлен лабрадором № 55, образующим таблитчатые кристаллы и обломки, часто наблюдаются гемеропорфированные сростки с корродированными и оплавленными краями. Местами плагиоклаз хлоритизирован и биотизирован. Пироксен - авгит, слагает таблитчатые кристаллы и гемеропорфированные сростки с корродированными гранями ($c:N_g=40^\circ$, двупреломление 0,023), опакитизирован. Роговая обманка образует клиновидные обломки, реже призматические кристаллы и зерна неправильной формы. Плеохроирует в буровато-зеленых тонах ($c:N_g=8^\circ$, двупреломление 0,015). Биотит зеленовато-бурый с резким плеохроизмом, часто деформирован. Основная масса состоит из листов и обломков плагиоклаза, сцепленных слабо поляризующим стеклом.

Описываемые образования по облику, текстуре и условиям залегания также могут быть отнесены к экструзивным автомагматическим брекциям. Это подтверждается и опакитизацией плагиоклаза, свидетельствующей о поверхностных условиях застывания породы.

ЖИЛЬНЫЕ ГИДРОТЕРМАЛЬНЫЕ ОБРАЗОВАНИЯ И ВТОРИЧНО ИЗМЕНЕННЫЕ ПОРОДЫ

Гидротермальные жилы представлены кварцевыми, кварц-карбонатными, кварц-сульфидными, кварц-карбонат-флюоритовыми разностями, среди которых резко преобладают кварцевые жилы. На изученной площади выявлено два поля жил. Одно из них наблюдается на водоразделе р.Турманджа и р.Уганкан в эндо- и экзоконтактной части Прибрежного массива раннемеловых гранитоидов. Мощность жил 0,1-1 м, протяженность 5-50 м. В жилах установлено золото, халькопирит, магнетит, циркон, апатит, эпидот, барит, флюорит. Другое поле кварцевых жил расположено на правом берегу Ульи. Мощность жил от 0,2 до 1,5 м, протяженность до 150 м. Помимо кварцевых жил, здесь же встречаются и кварц-карбонатные жилы. В отдельных кварцевых жилах установлены галенит, сфалерит, халькопирит и золото.

Пространственная приуроченность кварцевых жил к интрузивным образованиям свидетельствует, по всей видимости, о генетической связи жил с меловыми гранитоидами.

Вторично измененные породы широко распространены на территории листа. По эфузивам дацитового и андезитового состава на контакте с интрузиями развиваются кварц-биотитовые, и кварц-амфиболевые роговики; по эфузивам липаритового состава - кварц-полевошпатовые роговики. Ширина зон контактных роговиков меняется от первых метров (по лавам андезитового состава) до 0,5 км (по кислым вулканитам). Эпидотизация, хлоритизация, карбонатизация, окварцевание и пиритизация наблюдаются в эндо- и экзоконтакте Прибрежного массива и вдоль разрывных нарушений. Местами породы настолько изменены, что определить их первоначальный состав невозможно. На контакте позднемеловых гранитоидов с раннемеловыми развивается фельдшпатизация, которая выражается в развитии калиевого шпата в зоне шириной от 1 до 20 м. В отдельных случаях фельдшпатизация развивается вдоль разломов вместе с окварцеванием.

Широко развиты вторичные кварциты, которые наблюдаются в зонах эндо- и экзоконтактов интрузивных образований, а также вдоль зон разломов среди вулканогенных пород. Наиболее широко они развиты в южной и центральной частях района и тяготеют к полям развития гранитоидов. Среди вторичных кварцитов наблюдаются следующие фации: монокварцевая (кварц 95-98%, серицит 1-3%, магнетит 1-2%); кварц-серийитовая (кварц 50-70%, серицит 20-50%, пирит 3-7%); кварц-алунитовая (кварц 50-60%, серицит 10-20%, алунит 15-20%, магнетит 1-7%); кварц-андалузитовая (кварц 40-60%, андалузит 30-50%, алунит 1-5%, магнетит 1-5%); кварц-корундовая (кварц 80-85%, корунд

5-7%, андалузит I-3%, серицит 5-10%). Обычно в массивах вторичных кварцитов наблюдается зональность, выраженная в смене монокварцевой фации от центра массива к периферии кварц-серицитовой, кварц-андезитовой, кварц-андалузитовой фациями. Но нередко массивы сложены одной или двумя фациями вторичных кварцитов. Наиболее широко распространена кварц-серицитовая фация. Часто массивы вторичных кварцитов окаймляются полями пропилитизированных и аргилизированных пород. Ширина зон пропилитов достигает 500 м, протяженность от 0,1 до 2 км. Аргилизированные породы имеют постепенные переходы ко вторичным кварцитам, иногда они образуют поля площадью в несколько квадратных километров вокруг маломощных зон вторичных кварцитов или пропилитов.

Гидротермально измененные породы часто несут убогую золотую минерализацию (до 1 г/т). Предположительно золото концентрируется в волосовидных кварцевых прожилках.

Гидротермальные породы хорошо отличаются от неизменных вмещающих пород светло-желтой или красновато-буровой окраской, обусловленной широким развитием в зоне выветривания гидроокислов железа.

Гидротермальная деятельность, по-видимому, связана с постмагматическим этапом становления меловых гранитоидов. В то же время существуют предположения о палеогеновом возрасте вторичных изменений, поскольку они часто наблюдаются вдоль зон разломов северо-западного направления, которые секут палеогеновые долериты в верховых Ульи [8].

ТЕКТОНИКА

ТERRITORIЯ листа расположена в пределах Охотско-Чукотского вулканогенного пояса в зоне сочленения двух крупных структур – Ульинского прогиба и Джугджурского поднятия. Ульинский прогиб выполнена преимущественно меловыми вулканогенными образованиями и охватывает всю северную половину листа. Джугджурское поднятие сломено, главным образом, гранитоидами и располагается в южной части территории листа. Границей между этими структурами служит субширотная зона Прибрежного глубинного разлома.

УЛЬИНСКИЙ ПРОГИБ

Ульинский прогиб протягивается в северо-восточном направлении более чем на 450 км при ширине 150 км [7]. На территории расположена лишь краевая юго-западная часть прогиба, выполненная вулканитами раннемеловой андезит-лишаритовой формации, максимальная мощ-

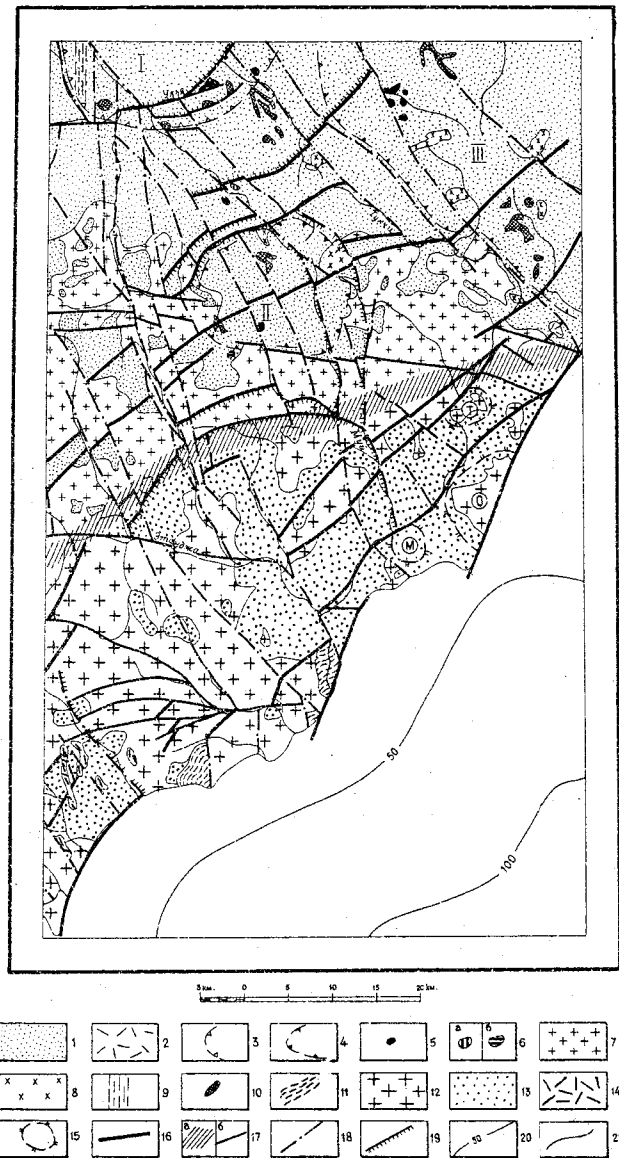
ность которой достигает 4 км. Крайне ограниченно развиты залегающие горизонтально верхнемеловые вулканогенно-осадочные образования, которые, по всей вероятности, образуют самостоятельный верхнемеловой структурный комплекс, отделенный от нижнемеловой толщи вулканитов (нижнемелового комплекса) стратиграфическим несогласием и этапом внедрения джугджурских гранитоидов.

Спокойное субгоризонтальное залегание вулканитов с постепенным погружением покровов к осевой части прогиба нарушено многочисленными разломами. Анализ состава и условий залегания вулканитов позволяет, с некоторой долей условности, выделить три крупные вулкано-тектонические депрессии – Среднеульинскую, Верхнетурмандинскую и Унчинскую (рис.1).

Среднеульинская депрессия расположена в северо-западной части территории или в бассейне Ульи. Депрессия имеет изометрическую форму и протягивается на север за пределы территории листа. Размеры ее на изученной территории 18x25 км. Депрессия выполнена туфами и игнimbритами кислого состава верхней подсвиты магейской свиты. Местами отмечаются прослои лав андезитовых порфиритов. В восточной части депрессии в долине и на правобережье Ульи расположены некки лишаритовых порфиров, наиболее крупный из которых достигает 2,5 км в диаметре. Не исключена возможность, что вторая группа эruptивных аппаратов Среднеульинской вулкано-тектонической депрессии расположена в северо-западной ее части непосредственно за пределами опи-сываемой площади. Это подтверждается широким развитием на левобережье Эйканда крупнообломочных туфов кислого состава, сменяющихся к востоку и югу среднеобломочными туфами того же состава. На западе депрессии ограничена остаточным поднятием, сложенным вулканогенными образованиями нижней и средней подсвиты магейской свиты. Вдоль границы депрессии здесь прослеживается субмеридиональный дайковый пояс. На юге и востоке депрессия ограничена разломами.

Верхнетурмандинская депрессия охватывает верховья Турмандин. Она имеет изометрическую форму с диаметром 16-18 км и выполнена андезитовыми порфиритами и туфами кислого состава верхней подсвиты магейской свиты. В северной и южной краевых частях депрессии в верховьях Мия и Неруктана отмечаются в поле бомбовых и лапиллиевых туфов эruptивные аппараты, представленные мелкими некками, сложенными лишаритовыми порфиритами, и остатки экструзивных куполов, выполненных автомагматическими брекциями лишаритовых порфиров и андезитовых порфиритов. С юга, востока и запада депрессия ограничена разломами и телами гранитоидов, на севере она по разлому граничит со Среднеульинской депрессией, а на северо-востоке отделяется от Унчинской депрессии Верхнетуричинским остаточным поднятием. Последнее сложено кислыми туфами нижней подсвиты магейской свиты. В краевых

Рис. I. Тектоническая схема



Охотско-Чукотский вулканогенный пояс. Ульинский прогиб:
 1 - субгоризонтально (I-5°) залегающие вулканогенные образования раннемеловой андезит-липаритовой формации (нижнемеловой структурный комплекс); 2 - горизонтально залегающие покровы верхнемеловых тuffогенно-осадочных пород (верхнемеловой структурный комплекс); 3 - контуры вулканических депрессий, выполненных преимущественно туфами и игнимбритами кислого состава (I - Среднеульинская); 4 - контуры вулканических депрессий, выполненных преимущественно андезитовыми порфиритами и их туфами (II - Верхнэтуманчанская, III - Уччинская);
 5 - эруптивные аппараты (некти), выполненные породами кислого состава; 6 - остатки экструзионных куполов, сложенных автомагматическими брекчиями а) среднего состава, б) кислого состава; 7 - пластинкообразное пологозалегающее тело меловых гранитоидов (северная часть Прибрежного массива); 8 - мелкие штоки меловых гранитоидов (апофизы Прибрежного массива); 9 - раннемеловой дайковый пояс; 10 - мелкие штоки и пластиновые тела палеогеновых долеритов, Джутикурское поднятие; II - дислокированное (до 60-70°) восточно-восточные и вулканогенно-осадочные образования (верхненерский структурный комплекс), возникшего, являющиеся фрагментами фундамента Охотско-Чукотского вулканогенного пояса; 12 - гигантско-трещинное круглое залегающее тело меловых гранитоидов (южная часть Прибрежного массива); 13 - ксенолиты и прорывы кровли Прибрежного массива, сложенные нижнемеловыми вулканитами андезит-липаритовой формации (нижнемеловой структурный комплекс); 14 - горизонтально залегающие покровы верхнемеловых тuffогенно-осадочных пород (верхнемеловой структурный комплекс); 15 - куполовидные структуры с падением покровов вулканитов на крылья до 10-15° (10 - Сиданское, 11 - Муйское, 12 - Тукчинское).

Разрывные структуры: 16 - разломы, заложившиеся предположительно в предмеловое время и омоложенные в меловом периоде и кайнозое, отражающие систему глубинных разломов, предопределивших пространственное положение Охотско-Чукотского вулканогенного пояса; 17 - разломы, заложившиеся в раннем мелу и омоложенные в кайнозое, определяющие пространственное положение и границы основных структур (прогибов и поднятий) Охотско-Чукотского вулканогенного пояса (а - Прибрежный глубинный разлом, установленный по геофизическим данным; б - разрывы, сопряженные с Прибрежным глубинным разломом); 18 - разломы, заложившиеся в раннем мелу и омоложенные в кайнозое, частично разделяющие крупные вулканические структуры; 19 - разломы, образующие полукольцевые системы, заложившиеся в раннем мелу и омоложенные в кайнозое, часто определяющие размеры и конфигурацию вулканических депрессий.

Прочие обозначения: 20 - изобаты Охотского моря;
 21 - границы различных структурно-формационных комплексов пород.

частях депрессии развиты протяженные дугообразные разломы, об разующие полукольцевую систему.

Всю северо-восточную часть территории листа занимает Унчинская вулкано-тектоническая депрессия, которая в пределах описываемого района сложена андезитовыми порфиритами, значительно реже туфами ишпаритовых порфиров верхней подсвиты магейской свиты. Размеры депрессии в пределах листа 30x25 км. Здесь наблюдается несколько лавовых потоков, иногда разделенных прослоями туфов. Протяженность отдельных потоков по простирации достигает 8-9 км. Лавовые потоки выносят на поверхности рельефа, что иногда создает ложное впечатление складчатости. В бассейне Эйло расположено несколько некков диаметром около 1 км, сложенных ишпаритовыми порфиритами, здесь же отмечаются и их пластовые тела. На юго-западе и северо-востоке, в краевых частях депрессии породы полого (углы 4-5°) погружаются к центру структуры, который, по-видимому, расположен в истоках Учи.

От смежных депрессий Унчинская вулкано-тектоническая структура отделена разломом северо-западного направления и Верхнетукчинским остаточным поднятием. В южной части Ульинского прогиба раннемеловые гранитоиды, которые, как уже говорилось выше, по-видимому, слагают крупное плитообразное тело, полого погружающееся к северу. Здесь часто наблюдаются остатки кровли, сложенные вулканитами магейской и ульбериканской свит и образующие "нашлепки", залегающие горизонтально или субгоризонтально. Местами имеются штоки позднемеловых гранитов и субшелочных гранитов.

ДЖУГДЖУРСКОЕ ПОДНЯТИЕ

Джугджурское поднятие сложено преимущественно гранитоидами. Здесь на дневную поверхность выходят наиболее древние вулканогенно-осадочные образования района - верхненерские образования и породы ульбериканской свиты и нижней подсвиты магейской свиты. Лишь на крайнем северо-востоке поднятия вблизи Прибрежного разлома развиты вулканиты верхней подсвиты магейской свиты.

Не исключена возможность, что верхненерские осадочные и вулканогенно-осадочные образования представляют собой фрагменты фундамента^{x)}, подстилающие вулканогенные толщи Охотско-Чукотского пояса на этом участке (верхненерский структурный комплекс). Они, по всей

^{x)} Верхненерские вулканогенно-осадочные толщи, судя по значительному их развитию к северо-востоку от устья Уди, входят в состав Охотско-Чукотского пояса (Прим.ред.).

видимости, отвечают крайней северо-восточной части Удского прогиба, входящего в состав Монголо-Охотской складчатой области. В пределах территории описываемого листа они характеризуются различными условиями залегания. Так, в приустьевой части р. Тукчи пласти верхненерских пород залегают горизонтально, в низовьях рек Иркаркан и Кохалмы наблюдаются фрагменты складок и моноклиналей с углами падения до 60-70°. Здесь они с угловым несогласием перекрываются толщей меловых вулканогенных пород.

Раннемеловые гранитоиды в пределах Джугджурского поднятия слагают гигантское трещинное тело, вытянутое в северо-восточном направлении, ограниченное на севере зоной Прибрежного разлома, а на юге и востоке погружающееся под воды Охотского моря. Вулканогенные образования слагают многочисленные останцы и провесы кровли, иногда достигающие значительных размеров (10x30 км). Залегают вулканиты наклонно, погружаясь в целом к северу и северо-западу под углами до 10°. Местами наблюдаются характерные куполовидные структуры, в ядрах которых вскрываются гранитоиды, а на крыльях наклонно (10-15°) залегают покровы и потоки вулканогенных пород. Диаметр этих структур колеблется от 2-3 до 10 км. Куполовидные поднятия отмечаются в среднем течении р. Тукчи, близ м. Оджан южнее устья Муй.

Разрывные нарушения. По значимости в структуре района и возрасту заложения разрывные нарушения разделяются на три группы. Наиболее древней (домеловой) является система нарушений северо-восточного направления. Эта система, несомненно, служит отражением глубинных расколов земной коры, предопределивших возникновение и пространственное положение Охотско-Чукотского вулканогенного пояса. В пределах территории листа разломы этой системы выражены четко - они фиксируются прямолинейными участками речных долин, цепочками седловин, бороздами на склонах и водоразделах. Иногда они хорошо выражены резкой сменой интенсивности магнитной напряженности (разлом по долине р. Тукчи, правому притоку р. Муй и др.). В значительной мере разломы этой системы предопределили очертания береговой линии. Разломы представлены вертикальными сбросами^{x)}, амплитуда их достигает первых сотен метров (до 500 м) при протяженности отдельных разломов до 60 км. Обично подняты северо-западные блоки. Наиболее крупные нарушения прослеживаются в долинах рек Тукчи и Ульи, в центральной части площади листа, вдоль береговой линии.

^{x)} Морфология разрывных нарушений изучена недостаточно, во многих случаях не удается установить наклон плоскостей смещителей. В связи с этим в значительной мере условно большинство нарушений считается вертикальными.

Вторая система нарушений определяет пространственное положение и границы основных структур в пределах Охотско-Чукотского вулкано-генного пояса. Крупнейшим нарушением этой системы является Прибрежный глубинный разлом, разделяющий Ульинский прогиб и Джугдужурское поднятие. На всем протяжении Прибрежный разлом залечен гранитоидами и, как было отмечено выше, фиксируется лишь сменой характера разломов, параллельные или близкие по простирации к зоне Прибрежного разлома. Они представлены сбросами с незначительными амплитудами перемещения (первые десятки метров) и прослеживаются в долинах рек Этанджа, Кохалма и др. По всей вероятности, эти разломы возникли в раннем мелу, перед внедрением гранитоидов и в значительной мере предопределили форму массива гранитоидов.

Третья система разломов ориентирована в северо-западном направлении и распространена в районе очень широко. Разломы этого направления часто разделяют отдельные крупные вулкано-тектонические структуры, нередко контролируют размещение эруптивных аппаратов (р. Эйло, верховья Нерукчана, верховья Муй), даек и жил (р. Эйканда). Часто зоны разломов этой группы сопровождаются полями гидротермально измененных пород. В значительной мере разломы северо-западного направления определяют конфигурацию многочисленных притоков основных рек района - Ульи, Тукчи и Этанджи. Разломы этой группы представлены сбросами с небольшими амплитудами смещения (первые десятки метров). По всей вероятности, эти нарушения возникли в раннем мелу в процессе формирования вулканогенной толщи и были омоложены (как и разломы других групп) в кайнозое.

Существенную роль в строении района играют дугообразные разломы, которые в некоторых случаях группируются в полуколоццевые разрывы, иногда ограничивающие крупные вулкано-тектонические структуры или подчеркивающие их изометричную форму. Такие разломы можно наблюдать по периферии Верхнетурманджинской депрессии и Среднеульинской депрессии в междуречье Муй и Этанджи. Эти разломы представлены малоамплитудными сбросами с вертикальными или крутопадающими к центру вулкано-структур поверхностями сместителей. Несомненно они заложились в раннем мелу в процессе формирования вулканогенной толши и также испытали активизацию в кайнозое.

Общие структурные особенности района слабо выражены на карте магнитного поля, которое отличается сложностью и неоднородностью. В целом оно характеризуется интенсивной расчлененностью и положительными значениями напряженности (рис.2). Такое поле отмечается как в области развития вулканогенных, так и интрузивных пород; это, вероятно, связано с неоднородным составом пород, большим количеством

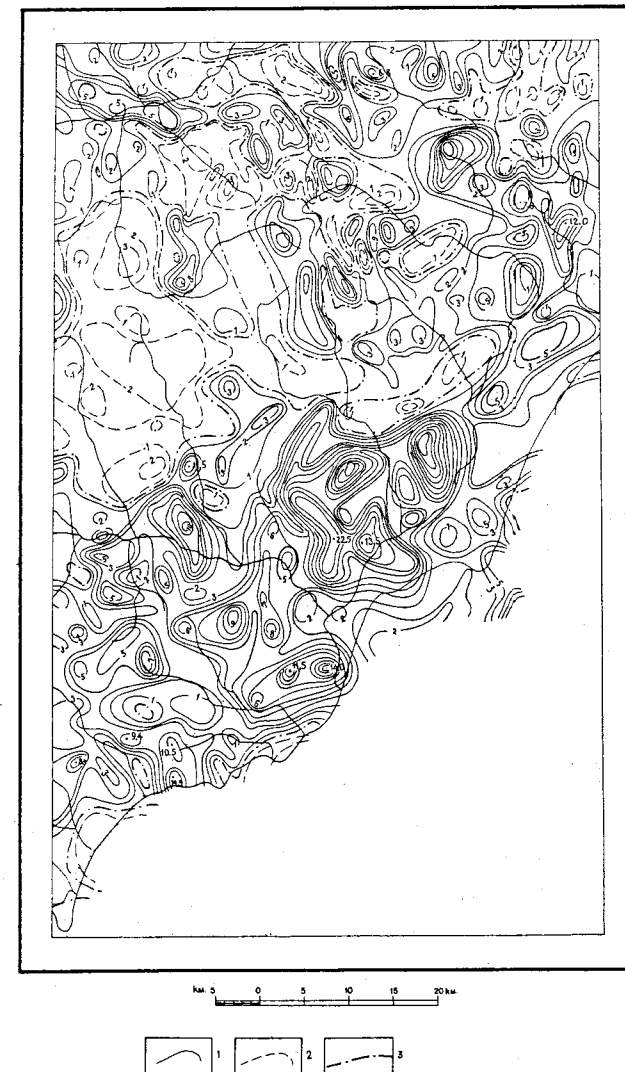


Рис.2. Аэромагнитная карта
Изодинами и их значение в миллиэрстедах: 1 - положительные, 2 - отрицательные, 3 - нулевые.

вом субвулканических образований и разрывных нарушений. Спокойное пониженное магнитное поле в центральной части территории, как уже указывалось, возможно, связано с тем, что гранитоиды на этом участке образуют пологозалегающее пластиообразное тело. Резкой сменой интенсивности магнитной напряженности выражен Прибрежный глубинный разлом.

О домеловой истории геологического развития района можно судить лишь привлекая материалы по обширному региону. В юрском периоде большая часть территории листа характеризовалась, по всей вероятности, континентальными условиями и принадлежала к Охотскому массиву, в пределах которого архейский кристаллический фундамент был перекрыт чехлом протерозойских и палеозойских осадочных отложений. Лишь на крайнем юге территории существовал прогиб, в котором накапливалась терригенная флишеподобная толща. Этот прогиб (северная часть Удского прогиба) принадлежал Монголо-Охотской геосинклинальной области.

В предмеловое время прогиб испытал инверсию и выполняющие его верхнеюрские толщи были смыты в складки. В этот период, вероятно, заложились протяженные глубинные разломы северо-восточного направления, которые послужили в раннем мелу подводящими каналами для огромных масс андезитовой магмы. Началось формирование Ульинского прогиба Охотско-Чукотского вулканогенного пояса с наложенными вулкано-тектоническими депрессиями. Широкое развитие туфов и игнимбритов свидетельствует о центральном типе извержений, а присутствие в вулканогенной толще туфоконгломератов и туфлитов с остатками обугленной ископаемой флоры указывает на субаэральные условия накопления вулканитов. В конце раннего мела произошло поднятие территории по-видимому, наиболее интенсивное в южной части площади листа, сопровождавшееся внедрением огромных масс гранитоидной магмы, и сформировалось Джугджурское поднятие. В позднем мелу магматическая активность затухает, происходит внедрение субшелочных гранитоидов и на локальных участках изливание кислой магмы. Слабая магматическая деятельность продолжалась и в палеогене и выразилась во внедрении незначительных масс основной магмы. В неогене и четвертичном периоде происходит интенсивное воздымание, оживают и активизируются многочисленные разрывные нарушения, формируется современный горный рельеф с межгорными котловинами.

ГЕОМОРФОЛОГИЯ

Современный рельеф территории сформировался под воздействием новейших движений. В пределах района по типу деформаций и характеру напряжений выделяются три зоны: I - зона интенсивных резко дифференцированных движений; II - зона умеренных слабо дифференцированных движений; III - зона умеренных недифференцированных движений.

Первая из них охватывает центральную часть территории от водораздела рек Тукчи - Турманджа к западу и юго-западу, включая площади верховьев рек Муй, Турмачан и Уганкан.

Вторая зона расположена в восточной части территории. Она прослеживается полосой в северо-восточном направлении, охватывая площади, расположенные к югу от р. Этанджа и далее в бассейнах рек Тукчи, Эйло, Учки и Кивангра.

Третья зона охватывает бассейн р. Ульи.

В пределах первых двух зон в результате контрастных движений отдельных тектонических блоков сформировались сложно построенные горсты и грабены, характеризующиеся различными морфометрическими параметрами. Структуры зоны интенсивных движений (I) характеризуются максимальными амплитудами вертикальных смещений (до 1000 м - горот в верховьях р. Муй) и значительными амплитудами относительных спусканий (500-600 м - грабен в верховьях Турманджи). Структуры зоны умеренных дифференцированных движений (II) характеризуются амплитудами воздымания ступенчатых горстов в пределах 500-800 м (бассейн рек Учки - Кохалма) и незначительными амплитудами относительного опускания (200-400 м) и грабенах (бассейн рек Мунгая - Этанджи). Для зоны умеренных недифференцированных движений (III) характерно своеобразное воздымание с амплитудами поднятий 200-400 м.

Генетические типы рельефа обусловлены также литологией пород, условиями их залегания и интенсивностью экзогенных процессов. Выделяются шесть типов рельефа, различающихся по генезису, морфологии и возрасту.

I. Плато низкое и среднее, сохранившееся в центральных частях междуречий. Возраст дочетвертичный

Пологоволнистый рельеф, незатронутый молодым эрозионным временем, сохранился лишь в форме реликтов и привершинных частях междуречий, на хребтах и горных массивах и наблюдается на пологоволнистых привершинных поверхностях с относительными превышениями до 150-200 м. От омоложенного рельефа новейшего этапа развития эти поверхности отличаются четко выраженной бровкой молодого эрозионного вреза. Описываемые формы рельефа встречаются во всех трех зонах неотектонической активности и наиболее широко распространены в бассей-

не Турманджи, на водораздельной части рек Турманджа, Тукчи, Муй и в правобережье Этанджи. Они расположены на различных гипсометрических уровнях - от 100 м в прибрежной зоне до 1500 м на водоразделе Турманджи, Тукчи и Муй. Дочетвертичный возраст древнего денудационного плато устанавливается на основании дат-эоценовой флоры, обнаруженной в элювии реликтов древних поверхностей выравнивания в бассейне р.Май [4] (рис.3).

П. Межгорные котловины – грабены. Возраст дочетвертичный

Слабо расчлененный грядово-мелкосопочный рельеф, осложненный ледниковой эрозией и аккумуляцией, приурочен к асимметричным сложноступенчатым грабенам верховьев Турманджи и Муй. Наиболее опущенные блоки, четко выраженные в рельефе, имеют субширотное простирание. Протяженность их 8–13 км, ширина 4–6 км. В пределах опущенных блоков сохранился слаборасчлененный пологосклонный грядовый, грядово-мелкосопочный рельеф древнего плато. В межгорной котловине верховьев Турманджи на вершинах и склонах междуречных гряд распространены слаженные ледниками останцовые возвышенностии высотой 5–20 м, сложенные эфузивными образованиями, и округлые высоты с валунами на поверхности. Грядовый рельеф в верховьях р.Муй сформировался на гранитоидах и имеет слаженные, плавные очертания. Характерная особенность рельефа котловин – параллельно направленные широкие выдоложенные днища речных долин, заполненные ледниками и водно-ледникими отложениями со свойственным им микрорельефом. На основании сходства рельефа межгорных котловин с рельефом древнего денудационного плато, возраст его также определяется как дочетвертичный.

III. Горы низкие и средние эрозионно-тектонические Возраст четвертичный

Горы низкие и средние (до 1500 м) эрозионно-тектонические представляют собой четко выраженную морфоструктуру, приуроченную к центральной части территории, к горостам зоны интенсивно резко дифференцированных движений и к наиболее приподнятым блокам горстов зоны слабо дифференцированных движений. Останцовые массивы гор, вздымающиеся среди плоскогорья, сформировались в пределах максимально приподнятых блоков или на стойких к выветриванию роговиках.

По морфологическому облику рельеф гор подразделяется на два подтипа.

Интенсивно расчлененный альпинотипный скалисто-карлинговый рельеф, осложненный ледниковой эрозией, приурочен к центральной части площади листа с высотными отметками 1200–1500 м. Этот рельеф

наблюдается в виде отдельных участков неправильной изометричной формы. Для него характерны узкие междуречные хребты или массивы изометричной формы, расчлененные глубокими У-образными долинами ручьев на мелкие отроги. Крутые (свыше 25°), часто обрывистые склоны гор покрыты крупноглыбовыми подвижными осьмями. Истоки распадков заканчиваются ледниковыми караами. Вершины горных хребтов увенчаны ледниковыми карлингами. Днища долин водотоков, вытекающих из ледниковых каров, узкие, заваленные моренными нагромождениями. На участках молодых перехватов (истоки р.Тукчи и Муй; Тукчи и Мунгая) долины рек представляют собой глубокие (до 200 м) теснины и ущелья с многочисленными каскадами водопадов. Лишь долины крупных рек (истоки Эйло, Энерди и др.) обладают слабо выраженным троговым обликом.

Интенсивно расчлененный рельеф с узкими гребневидными хребтами (600–1200 м) распространен по периферии альпинотипного рельефа, а также на некоторых участках побережья. В отличие от альпинотипного рельефа для него характерно отсутствие форм ледниковой эрозиции, что обуславливает его более плавные очертания. Склоны гор крутые, покрыты крупноглыбовыми подвижными осьмями. Вершины хребтов – узкие гребневидные с разрозненными мелкими скальными останцами, глубокими седловинами и резкими перепадами высот. Эрозионное расчленение густое, долины узкие, глубокие (до 600 м), У-образные.

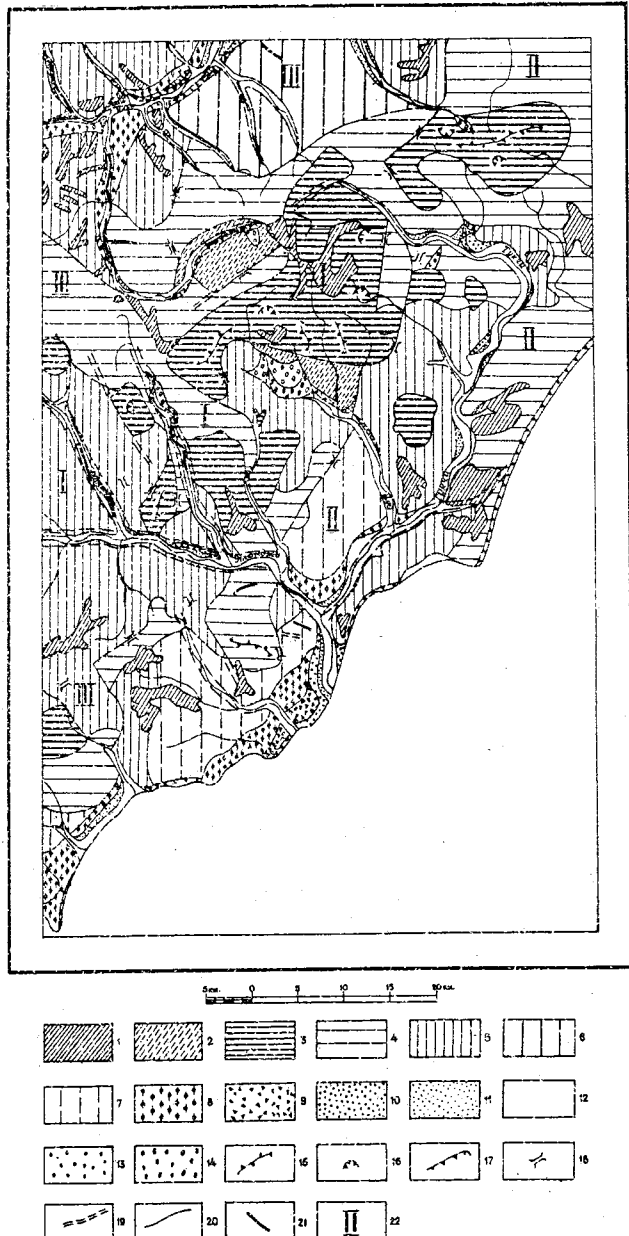
Рассмотренные формы рельефа сформировались в результате омоложения и эрозионного расчленения дочетвертичного древнего денудационного плато и поэтому могут считаться четвертичными.

IV. Плоскогорье низкое, эрозионно-тектоническое Возраст четвертичный

Плоскогорье по сравнению с рассмотренными морфоструктурами выражено в орографии района менее четко. Оно приурочено в основном к III зоне тектонической активности, а также к грабенам или относительно опущенным блокам II, реже I тектонической зоны.

По степени эрозионного расчленения и морфологическому облику рельеф плоскогорья подразделяется на умеренно-расчлененный массивный; умеренно, местами сильно, расчлененный останцовый; и на слабо расчлененный слаженный рельеф.

Умеренно расчлененный, массивный рельеф сформировался как на интрузивных, так и на вулканогенных породах в бассейне р.Этанджа, Тукчи, Муй, левобережье Ульи. Для него характерны круто склонные междуречные хребты с широкими вершинами или массивы, умеренно расчлененные У-образными долинами водотоков. На отдельных участках плоскогорья возвышаются (на 150–200 м) останцовые высоты (р.Уган-



кан) или горные массивы с альпинотипным рельефом (междуречье Этанджи-Иркаркана, правобережье Тукчи). На плоскости развития интрузивных пород склоны гор осложнены нагорными террасами с крупными уступами (до 20 м) и пологонаклонными площадками различной ширини. Склоны гор, сложенные вулканогенными породами, осложнены структурными уступами различной высоты и протяженности; на вершинах нередко наблюдаются бронирующие столовые поверхности с обрывами высотой 100-150 м. Долины крупных рек, расчленяющих плоскогорье, глубокие (300-500 м) с У-образными поперечными осями и слабо разработанными днищами.

Рис.3. Геоморфологическая схема

I - плато низкое и среднее денудационное, сохранившееся в центральных частях междуречий. Возраст дочетвертичный. Пологовалистый нерасчлененный молодым эрозионным врезом рельеф. 2 - межгорные котловины - грабены. Возраст дочетвертичный. Слабо расчлененный грядово-мелкосопочечный рельеф, осложненный ледниковой эрозией и аккумуляцией. Горы низкие и средние эрозионно-тектонические. Возраст четвертичный: 3 - интенсивно расчлененный альпинотипный скалисто-карлинговый рельеф (1200-1500 м), осложненный ледниковой эрозией; 4 - интенсивно расчлененный рельеф с узкими гравеновидными, крутосклонными хребтами (600-1200 м). Плоскогорье низкое эрозионно-тектоническое. Возраст четвертичный; 5 - умеренно разчлененный массивный рельеф (600-900 м) плосковершинных гор с обособленными высотами, структурными бронирующими поверхностями и крутыми склонами, осложненными нагорными террасами и структурными уступами; 6 - умеренно, местами сильно расчлененный останцовый рельеф (700-1000 м); 7 - плоскогорье со слабо расчлененным сглаженным рельефом (300-600 м). Эрозионно-аккумулятивный рельеф. Возраст четвертичный; 8 - IV - надпойменная и морская терраса; 9 - III - надпойменная и морская терраса; 10 - II - надпойменная и морская терраса; 11 - I - надпойменная и морская терраса; 12 - пойма и морские пляжи. Ледниковый и водно-ледниковый рельеф. Возраст четвертичный; 13 - грядово-буగристый рельеф донной и боковых морен, занесенные поля максимального оледенения; 14 - грядово-холмистый рельеф донной и боковых морен, занесенные террасовидные поверхности постмаксимального оледенения. Формы рельефа: 15 - ледниковые карлины; 16 - ледниковые кары; 17 - абразионно-денудационные морские клифы; 18 - седловины, заложившиеся по зонам тектонических нарушений; 19 - долины рек, заложившиеся по зонам тектонических нарушений; 20 - контуры типов рельефа и террас; 21 - равновесные участки долин, благоприятные для формирования и сохранения россыпей; 22 - зоны различной интенсивности новейших тектонических движений (I - интенсивных резко дифференцированных, II - умеренно слабо дифференцированных, III - умеренных недифференцированных).

Умеренно, местами сильно, расчлененный останцовый рельеф, распространенный в междуречье Нерукчан-Эйло, отличается от вышеописанного более густым эрозионным расчленением и мелкими останцовыми высотами. Такие особенности вызваны наличием густой сети мелких разломов и трещин. Глубина эрозионного вреза не превышает 300 м. Долины рек ящкообразные с плоскими, слабо террасированными днищами и со склонами средней крутизны ($10-25^{\circ}$).

Плоскогорье со слабо расчлененным сглаженным рельефом распространено в пониженных (300–600 м) участках побережья, к юго-западу от устья Тукчи. Для него характерны пологосклонные ($5-10^{\circ}$) грядо-подобные междуречья с пологовыпуклыми волнистыми вершинами. В бассейнах Иржаркана и Мирмалана плоскогорье уступом (100–150 м) опускается к высокой морской террасе. Глубина эрозионного вреза не превышает 250–300 м. Долины ящкообразные, местами с заболоченными днищами.

Возраст плоскогорья определяется началом омоложения рельефа района и устанавливается в интервале всего четвертичного периода.

У. Эрозионно-аккумулятивный рельеф четвертичного времени

Эрозионно-аккумулятивный рельеф представлен комплексом разновозрастных речных I–IV) и синхронных им морских террас трех уровней, а также поймой и пляжами.

IV- надпойменная эрозионно-аккумулятивная терраса высотой 120–140 м развита в днищах Ульи, Турманджи и в нижнем течении Тукчи. Поверхность террасы пологонаклонная ($3-4^{\circ}$), плоская. Высота бровки колеблется в пределах 120–140 м. Уступ крутой, нередко обрывистый. Тыловой шов иногда выражен неясно, замаскирован делювием. Раннечетвертичный возраст террасы условно определяется возрастом слагающих ее аллювиальных отложений. Синхронная IV- террасе абразионная морская терраса развита в прибрежной полосе между устьем Тукчи и м. Мирмалан. Морской аллювий сохранился лишь отдельными небольшими участками в углублениях бывшего морского дна. С материиковой частью терраса сочленяется уступом (до 150 м) извилистой конфигурации. Тыловой шов четкий. Ширина ее 1–4 км. Плоская, пологоволнистая слегка наклонная ($1-3^{\circ}$) поверхность террасы расчленена широкими выложенными долинами мелких водотоков. В более низкой морской террасой она сочленяется уступом высотой 15–20 м.

III надпойменная терраса высотой 15–30 м встречается фрагментами в долинах всех основных рек района. Ширина ее поверхности колеблется в пределах 0,2–0,8 км, протяженность от 2 до 4,5 км. Высота поколия 15–18 м. Поверхность террасы ровная, сравнительно плоская. Тыловой шов ясно выражен, бровка четкая. Палинологический анализ

террасовых отложений указывает на среднечетвертичный возраст. Морская терраса высотой 40–60 м, синхронная III надпойменной террасе, прослеживается в виде непрерывной полосы шириной 0,6–1,5 км по побережью от устья Тукчи к юго-западу. Терраса абразионная, аллювий сохранился локально. Поверхность плоская или мелкобугристая, заболоченная. Внутренняя граница извилистая. Тыловой шов не повсюду четкий. Терраса обрывается к морю уступом либо сочленяется с более низкой террасой сглаженными уступами.

II надпойменная терраса высотой 6–10 м распространена в долинах большинства рек. Обычно это плацдармы 0,2–0,6 км шириной и протяженностью 1,6–6 км. Поверхность ровная местами мелкобугристая, пологонаклонная ($1-2^{\circ}$) в сторону русла. Мощность аллювиального плаща достигает 4 м. Бровка округлая, разрушенная. Тыловой шов нечеткий. Переход к III надпойменной террасе постепенный, к I террасе резкий в виде 6–8 м уступа.

На основании палинологического анализа возраст аллювиальных отложений устанавливается как позднечетвертичный. В приустьевой части р. Кохалма II надпойменная терраса переходит в морскую террасу высотой 10 м, синхронную по времени образования.

I надпойменная терраса высотой 2–4 м аккумулятивная и аккумулятивно-эрэзионная встречается в долинах почти всех рек. Ширина фрагментов 0,2–0,8 км, длина 0,5–1 км. Поверхность бугристо-западинная местами заболочена, залесена. Наклон в сторону русла $1-2^{\circ}$. Тыловой шов выражен не всегда четко. Бровка округлая, сглаженная. Уступ как правило задернован. Возраст террасы на основании возраста аллювиальных отложений устанавливается как позднечетвертичный. Ей синхронна низкая морская терраса на побережье.

Пойменные аккумулятивные и эрозионно-аккумулятивные террасы (1–2 м) развиты повсеместно в долинах рек. Им синхронны морские пляжи побережья.

VI. Ледниковый и водно-ледниковый рельеф

Возраст четвертичный

Рельеф максимального оледенения развит в днищах долин в верховьях Турманджи, Муя, Тукчи. Здесь наблюдаются вытянутые вдоль бортов гряды боковых морен, холмисто-грядовый озерный микрорельеф морены и плоские террасовидные поверхности и поля. На междуречьях аккумулятивных ледниковых форм сохранились лишь эратические валуны. В отдельных местах в размытую морену максимального оледенения вложен неразрушенный грядово-бугристый рельеф первой стадии постмаксимального оледенения (верховья р. Муй). Ледниковый рельеф максимального оледенения, в отличие от постмаксимального сильно снивелирован,

местами полностью разрушен; на основании изложенных взаимоотношений устанавливается среднечетвертичное время образования описываемого рельефа.

Ледниковый и водно-ледниковый рельеф первой стадии постмаксимального оледенения распространен в днищах речных долин верховьев рек Муй, Мутчин и Турмачан. Он представлен хаотическими нагромождениями боковых и донных морен с грядово-холмистым пересеченным микрорельефом. Над урезом рек моренные отложения поднимаются на 20 м и более. В краевых частях полей ледникового рельефа отмечаются следы продольного движения ледников. Ложбины стока и зандровые террасовидные плоские пологонаклонные поверхности соединяются с II надпойменной террасой. В отличие от ледникового рельефа максимального оледенения этот рельеф характеризуется хорошей сохранностью и четкостью морфологических форм.

В истории формирования рельефа выделяется два этапа: дочетвертичный и четвертичный. До четвертичного времени (до позднего плиоцена) характеризовалось интенсивной пленепленизацией ранее существовавшего рельефа. Процесс этот протекал в условиях относительно спокойного тектонического режима и закончился формированием выровненного пологоволнистого плато с относительными превышениями до 200 м. Поверхность рельефа с абсолютными отметками 500 м постепенно понижалась к океану до 100-150 м. Водораздельная линия р. Ульи и р. Тукчи, сохранив то же направление, была сдвинута к югу на 6-10 км; расчленившая плато гидрографическая сеть имела иную более простую конфигурацию. Река Турманчжа имела меридиональное направление. Параллельно ей текли притоки Ульи и истоки Муя. Субширотный участок р. Тукчи представлял самостоятельную систему с устьем близ впадения р. Мунгая. Более сложной конфигурацией обладала береговая линия на участке устья р. Тукчи - м. Мирмалан.

Четвертичный этап развития начался региональным сводовым воздыманием, в которое была вовлечена вся территория. Поднятие обусловило интенсивное врезание рек, расчленение древнего денудационного плато, перестройку речной сети и формирование наблюдавшихся высоких террас рек Ульи, Турманчжи, Тукчи, а также высокой (120 м) морской террасы. В центральной части территории общее воздымание по разломам древнего заложения осложнено глыбовыми движениями; началось заложение межгорных котловин - грабенов и разделяющих их горотов. Эта перестройка закончилась к среднему плейстоцену, когда усилились глыбовые движения, дифференциация которых явилась основным фактором формирования современных морфоструктур. К началу максимального оледенения рельеф района приобрел почти современные высотные уровни, и лишь реликты эродированного древнего плато были более обширными.

Современная эпоха характеризуется унаследованным режимом развития, выражаящимся в эрозионном расчленении и интенсивной денудации открытых поверхностей склонов, вершин гор и плоскогорья.

ПОЛЕЗНЫЕ ИСКОПАЕМЫ

Описываемая площадь находится в пределах Охотско-Чукотского металлогенического пояса, для которого характерны месторождения золота, серебра, олова, ртути, мышьяка, свинца, цинка и молибдена [1, 2]. Обычно проявления полезных ископаемых сопровождаются полями гидротермально измененных пород формации вторичных кварцитов. На изученной территории обнаружены рудопроявления золота, свинца и цинка, а также медная и молибденовая минерализация; в шлихах встречены минералы висмута и ртути, выявлены месторождения строительных материалов.

ЦВЕТНЫЕ МЕТАЛЛЫ

Свинец, цинк

На площади листа обнаружены два мелкие рудопроявления полиметаллических руд. Первое расположено в верхнем течении р. Муй (П-2-3). Здесь развиты игнимбриты кислого состава, переслаивающиеся с липаритовыми порфиритами, ацдезитовыми порфиритами и их туфами верхней подсвиты магейской свиты. Вулканогенные образования прорваны некком липаритовых порфиров и нарушенны разломом северо-западного направления. Вблизи разлома вулканогенные образования окварцованны, хлоритизированы, местами превращены в квар-серийтевые вторичные кварциты. Вторично измененные породы прослеживаются в северо-западном направлении на протяжении 200 м, ширина полосы измененных пород колеблется от 3-5 до 15-20 м. Среди измененных пород наблюдаются различно ориентированные тонкие (до 30 см) кварцевые жилы и прожилки, образующие штокверковую зону протяженностью 50 м и шириной 3-7 м, также имеющую северо-западную ориентировку. Протяженность отдельных жил колеблется от 1 до 15 м. Минералогическим анализом точечных проб в жильном кварце установлены галенит, сфалерит, халькопирит, церуссит, англезит, малахит, азурит. Полуколичественным спектральным анализом 7 штуфных проб в жильном кварце обнаружены свинец, цинк, медь, серебро в количестве тысячных долей процента. В

связи с незначительными размерами штокверка и низкими содержаниями металлов проявление не имеет практического значения.

Второе рудопроявление расположено на м. Кемкара, в 1,8 км южнее устья р. Кемкара (У-1-2). Здесь в береговом обрыве обнажаются кварцевые диориты, среди которых прослеживается зона дробления и окварцевания. Ширина ее не превышает 0,9 м, прослеженная протяженность 4 м, простижение зоны северо-восточное, падение вертикальное. В брекчированных и окварцованных породах наблюдается рассеянная вкрапленность галенита, сфалерита, пирита, халькопирита. Химический анализ двух бороздовых проб показал следующие содержания полезных компонентов: свинец - 0,13-0,42%, цинк - 0,09-1,7%, медь 0,02-0,6%; пробирным анализом в этих пробах установлены следы золота и серебра. Из-за незначительных размеров минерализованной зоны и невысоких содержаний металлов рудопроявление не представляет практического интереса.

Помимо коренных рудопроявлений свинца и цинка минералы этих металлов обнаружены шлиховым опробованием в аллювиальных отложениях района. В верховьях Тукчи отмечается шлиховой ореол (П-2-1) галенита, вульфенита, пироморфита и сфалерита. В верховьях р. Муй (П-2-2) также выявлен ореол сульфидов и вторичных минералов свинца и цинка. Коренными источниками сноса этих минералов в обоих случаях являются гидротермально измененные породы, широко развитые в верховьях Тукчи и несущие у衷ую полиметаллическую минерализацию.

Редкие металлы

Ртуть

Единичные знаки киновари встречены в шести шлиховых пробах, отобранных из аллювия рек Мунгая и Агинкан. Источники сноса не установлены. Возможно, ртутная минерализация связана с гидротермально измененными породами, развитыми в бассейнах указанных рек.

Висмут

Шлиховым опробованием обнаружены единичные знаки висмута в отдельных пробах, взятых из аллювиальных отложений рек Уганкан, Турмачан, Иркаркан. Коренные источники сноса не установлены. Наиболее вероятными являются кварцевые жилы, хлоритизированные и эпидотизированные гранитоиды и вулканиты, наблюдающиеся в бассейнах этих рек, зоны которых тяготеют к разломам северо-западного направления. Так, единичные знаки висмута установлены минералогическим анализом в жильном кварце на правобережье Ульи.

Благородные металлы

В описываемом районе установлено 4 рудопроявления золота, а также золото в аллювиальных отложениях. Проявления рудного золота локализуются в кварцевых жилах.

Наиболее крупное Ульинское рудопроявление (I-2-1), располагающееся на правобережье р. Ульи. Здесь развиты туфы липаритовых порфиров верхней подсвиты магейской свиты, вмещающие некк субвуликанических липаритовых порфиров. Вулканогенные образования прорваны силлами и штоками палеогеновых долеритов. Широко развиты разломы и трещины северо-западного направления, вдоль которых вулканогенные и интрузивные образования гидротермально изменены и местами превращены в аргилизиты и пропилиты. На контакте с некком липаритовых порфиров в пределах изометричного участка площадью 10-12 км² среди туфов кислого состава установлено 45 кварцевых, реже кварц-карбонатных и кварц-карбонат-флюоритовых жил. В большинстве случаев жилы вытянуты в северо-западном направлении. Мощность отдельных жил колеблется от 0,2 до 2 м, протяженность от 2 до 280 м. Наиболее крупная жильная зона прослежена на протяжении 2 км при ширине 200-400 м. Жильный кварц массивный неясно полосчатый, реже гребенчатый и халцедоновидный. Минералогическим анализом в кварце установлены знаки золота, галенита, халькопирита, пирита, висмута, ильменита. Золото светло-желтое крючковатое, размер золотия не превышает 0,01 мм, проба золота 650-720. Пробирным анализом бороздовых и точечных проб в жильном кварце установлено 0,2-5,7 г/т золота. Спектральным анализом в кварце обнаружены тысячные доли процента меди, молибдена, серебра, титана, ванадия, хрома. В аргилизированных вмещающих породах спектроволотометрическим анализом установлено 0,006-2,0 г/т золота.

Большое количество золотоносных кварцевых жил, значительные размеры их, приближающиеся к промышленным содержаниям золота позволяют положительно оценивать перспективы Ульинского рудопроявления.

Проявление Прибрежное (IV-2-1) расположено в приустьевой части р. Эстанжи. Участок сложен андезитовыми, дацитовыми порфиритами и туфами кислого состава ульбериканской свиты, которые прорваны несколькими мелкими штоками (100x150 м) раннемеловых кварцевых диоритов. Последние так же, как и вмещающие их вулканогенные породы, превращены в пропилиты и вторичные кварциты. Первые развиты на площади 1,4 км², вторые - 2,5 км². Широко развиты кварцевые, кварц-карбонатные и кварц-сульфидные жилы. При этом кварцевые жилы встречаются преимущественно в неизмененных породах, в то время как сре-

ди пропилитов и вторичных кварцитов наблюдаются кварц-карбонатные и кварц-сульфидные жилы. В последних наблюдается обильная вкрапленность пирита, реже халькопирита, галенита, иногда молибденита. Протяженность отдельных жил колеблется от 5 до 20 м, мощность от 0,3 до 1 м. Пробирным анализом в штуковых пробах из кварц-сульфидных жил установлено золото в количестве 0,4-7,1 г/т, в кварцевых жилах 0,9-2,6 г/т, в пропилитах - 0,3-2,4 г/т.

Рудопроявление Прибрежное представляет практический интерес.

Рудопроявление Дальнее (П-1-2) расположено на водоразделе Уганканы и Мэгэчена. Здесь наблюдаются туфы липаритовых порфиров магейской свиты, прорванные гранодиоритами Джугдхурского комплекса. В северной части участка вулканогенные породы отделены от раннемеловых кварцевых диоритов разломом широтного направления. Вдоль зоны разлома наблюдаются следы интенсивной гидротермальной переработки вулканогенных пород, которые нередко превращены в пропилиты и вторичные кварциты кварц-серпентитовой, реже кварц-диккитовой и кварц-андалузитовой фаций. Размеры полей вторичных кварцитов достигают 1x0,5 км. Обычно они охватываются зоной развития пропилитов шириной до 100 м. Среди измененных пород наблюдаются отдельные кварцевые и кварц-карбонатные жилы мощностью 5-30 см, протяженностью до 15 м. Пробирным анализом бороздовых и точечных проб золото установлено: в жильном кварце 1,2-2,4 г/т, в пропилитах 0,7-1,5 г/т, во вторичных кварцитах 0,002-1 г/т.

Значительные размеры участка и весовые содержания золота в кварцевых жилах и пропилитах позволяют надеяться на обнаружение здесь золотого оруденения с промышленным содержанием металла.

Четвертое рудопроявление расположено на водоразделе рек Кунганджа и Турманджа (П-1-1). Здесь в слабо хлоритизированных и пиритизированных кварцевых диоритах Джугдхурского комплекса наблюдается полоса развалов жильного кварца. Ширина полосы 5-7 м, протяженность 20 м, размер отдельных глыб жильного кварца не превышает 20-30 см в доперечнике. Кварц молочно-белого цвета, массивный, иногда кавернозный. Спектролотометрическим анализом штуковых и точечных проб в кварце установлено 0,06-6 г/т золота. Рудопроявление не имеет практического значения из-за незначительных размеров.

Кроме описанных рудопроявлений, на изученной территории обнаружено и опробовано более 70 кварцевых жил и около 60 зон гидротермально измененных пород. Протяженность первых не превышает первых десятков метров, мощность 0,1-1,5 м, протяженность зон измененных пород достигает 100-200 м, ширина 10-50 м. В 22 жилах пробирным анализом штуковых проб установлены убитие (0,1-0,2 г/т) содержания золота. В 19 зонах гидротермально измененных пород пробирным анали-

зом установлено золото (0,1-0,4 г/т) и серебро (до 7,2 г/т). Все эти объекты не имеют практического значения из-за низких содержаний металла.

Помимо коренных рудопроявлений, золото встречено в рассеянных шлиховых пробах из аллювия практически всех водотоков в количестве 1-35 знаков на пробу, иногда до 7 г/м³ (р.Эйканда). При этом установлено два ореола рассеяния (I-2-2; IV-I-1). Золото в аллювиальных отложениях желтое, светло-желтое, мелкое (0,01-0,4, изредка до 1,4 мм), древовидное, крючковатое, веретенообразное, пластиначатое. Проба золота из долины р.Улья в районе рудопроявления Ульинского - 720, в долине р.Этанджа - 860-890. Источниками сноса металла в аллювиальных отложениях являются кварцевые жилы, пропилиты и вторичные кварциты.

Наибольший интерес представляет долина р.Эйканда. Здесь можно ожидать россыпь золота с промышленными содержаниями и запасами металла.

СТРОИТЕЛЬНЫЕ МАТЕРИАЛЫ

В качестве строительных материалов могут быть использованы гранитоиды, эфузивные и обломочные породы.

Интрузивные породы

Для строительных нужд могут быть рекомендованы гранодиориты, диориты Джугдхурского комплекса, широко развитые в районе. Гранитоиды образуют крупноглыбовые развалы и коренные выходы с хорошо выраженным системами трещин отдельности - крупные блоки 2-5 м в поперечинке. Породы имеют среднекристаллическое сложение, массивны, слабо изменены процессами выветривания. Анализ физико-механических свойств гранодиоритов и диоритов дал следующие результаты: удельный вес 2,79 г/см³, объемный вес сухих образцов - 2,790 г/см³, водопоглощение 0,4%, предел прочности при сжатии в состоянии насыщения водой - 1520-1870 кг/см². По совокупности качественных показателей гранодиориты и диориты являются плотными, прочными и морозостойкими и могут быть использованы в качестве бутового и облицовочного камня. Запасы составляют несколько миллиардов кубических метров.

Эфузивные породы

Эти породы района могут быть использованы лишь в качестве щебня, так как сильно трещиноваты. Анализ физико-механических свойств андезитовых порфиритов, наиболее распространенных в районе, дал сле-

дующие результаты: удельный вес 2,67 г/см³, объемный вес сухих образцов 2,670 г/см³, водопоглощение - 0,2%, предел прочности при сжатии - 1800 кг/см². По совокупности качественных показателей порода плотная, прочная и морозостойкая и может быть использована как заполнитель для бетонов.

Обломочные породы

Наиболее значительные запасы гальки и гравия отмечены на морском побережье в полосе от мыса Кемкра до мыса Мирмалан (I, V-I). Они слагают современные морские пляжи. Мощность отложений от 1 до 4 м, ширина пляжной полосы 200-400 м, протяженность - 12 км. Галька хорошо окатана и отсортирована, представлена гранитоидами и различными вулканогенными породами. Размеры гальки - 5-10 см.

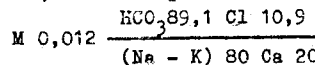
Заключение по результатам испытания гравия: 1. По зернистому составу - разнозернистый. 2. По содержанию глины, ила, пылевидных частиц отвечает ГОСТ 8268-62. 3. По содержанию органических примесей удовлетворяет требованиям, предъявляемым к гравию для строительных работ и бетонов. 4. По дробимости - относится к наивысшей прочности. 5. По сопротивляемости ударам - относится к наивысшей прочности. 6. Морозоустойчивость - Мрз-25.

По проведенным испытаниям гравий удовлетворяет требованиям ГОСТа 8268-62 на гравий для строительных работ и ГОСТа 10268-62 для заполнителя тяжелого бетона. Запасы гальки и гравия на участке мыса Кемкра - Мирмалан составляют несколько миллионов куб.м. Несколько меньшие залежи гальки отмечаются по крупным рекам: Улья, Турманда, Тукчи, Этанджа. Длина кос здесь не превышает 150-200 м, ширина 50 м. Запасы колеблются в пределах сотен тысяч куб.м. Аналогичные испытания речного обломочного материала, проведенные на смежной территории, свидетельствуют также о возможности его использования для строительных нужд [12].

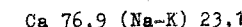
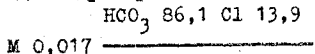
ПОДЗЕМНЫЕ ВОДЫ

Подземные воды из-за наличия в районе островной многолетней мерзлоты принадлежат надмерзлотной и подмерзлотной группам. Мощность мерзлого слоя не установлена и, вероятно, достигает первых сотен метров, глубина оттаивания деятельного слоя колеблется от 0,4 до 1,5 м (в зависимости от экспозиции склона). Объем циркулирующих в деятельном слое вод (надмерзлотные грунтовые воды) определяется степенью фильтрации пород. Так, слабо и крайне неравномерно трещиноватые вулканогенные породы обычно безводны. В поле разви-

тия интрузивных образований грунтовые воды локализуются в многочисленных трещинах, но запасы их невелики и целиком определяются количеством атмосферных осадков. Нередко наблюдаются нисходящие источники с незначительным дебитом (0,01-0,1 л/с, редко 0,5 л/с). Обычно они функционируют лишь в дожливую погоду. Воды гидрокарбонатно-натрово-калиевые, слабоминерализованные:

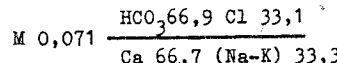


Наиболее водообильны рыхлые четвертичные отложения, представляющие собой самостоятельный водоносный комплекс. Водовмещающими являются пески и галечники с большим коэффициентом фильтрации (песчано-щебеночный тип вод). Водоупором служат прослой глинистых и суглинистых пород, а местами линзы льда. Слабый наклон пластов, их линзообразный характер, частая смена фаций обуславливают наличие сообщающихся водоносных горизонтов мощностью 0,2-0,5, изредка до 2-4 м и слабый напор вод. Источники, как правило, нисходящие, малодебитные (0,01-0,3, редко 1 л/с), приурочены обычно к основаниям склонов. Вода гидрокарбонатно-кальциевая слабоминерализованная:



Зеркало грунтовых вод достаточно высоко, слабо наклонено в сторону поверхностных водотоков, что обеспечивает их питание. В местах пересечения зеркала грунтовых вод с понижениями в рельефе отмечается заболоченность. Грунтовые воды чистые, прозрачные, приятные на вкус, холодные (4-6°). Иногда в сухих остатках водных проб отмечаются повышенные содержания свинца (0,01-1%), молибдена (0,002%), железа (более 1%), марганца (0,1%), титана (0,2%).

Прямых сведений о подмерзлотных водах мало. Наличие их подтверждается существованием восходящих источников с дебитом до 1,5 л/с, располагающихся обычно в зонах разломов, а также наледей, которые возникают в местах выходов на поверхность напорных вод. Вода восходящих источников характеризуется повышенной общей минерализацией (до 115 мг/л). Для химической характеристики вод приводится формула Курлова для восходящего источника на правобережье Ульи:



Степень общей минерализации, некоторые отличия в химизме убеждают в самостоятельности и глубине источника этих вод.

В целом район характеризуется небольшими запасами грунтовых вод. В летний период для питьевых и технических целей может с ус-

чесом используется вода поверхностных водотоков. Для зимнего водоснабжения, по-видимому, следует ориентироваться на воды, циркулирующие в зонах крупных разломов.

ОЦЕНКА ПЕРСПЕКТИВ РАЙОНА

Широкое развитие вулканогенных образований различного состава, прорванных крупными массивами гранитоидов, пологие контакты последних с вмещающими породами, наличие субвулканических образований, обилие разрывных нарушений и интенсивная постмагматическая гидротермальная деятельность, приведшая к широкому распространению кварцевых и кварц-карбонатных жил, кварцевых штокеров, полей вторичных кварцитов, пропилитов и артиллизитов – все это создает благоприятную обстановку для формирования золоторудных, молибденовых и медно-молибденовых, полиметаллических и ртутных месторождений.

Наиболее высоко могут быть оценены перспективы района в отношении золотого оруденения. Это подтверждается многочисленными находками золоторудных проявлений и широким развитием золота в рыхлых отложениях. Значительные параметры рудных тел и зон при содержаниях металла, приближающихся к промышленным, уже на настоящей стадии изученности позволяют считать, что такие рудопроявления как Ульинское, Прибрежное и Дальнее имеют промышленное значение.

В южной половине района в пределах Джугджурского поднятия, характеризующегося значительным эрозионным срезом, можно ожидать выявления среднетемпературных месторождений золота кварцево-жильного и штокверкового типа. В северной части территории в пределах Ульинского прогиба, а также в провесах кровли массива гранитоидов могут быть обнаружены эпигермальные месторождения золото-серебряной формации в пропилитах, вторичных кварцитах и связанных с ними кварцевых жилах (рис.4).

В результате детальных геологосъемочных и поисковых работ в северо-западной части территории листа [13] и на смежной площади [18] установлено, что наиболее благоприятны для локализации золотого оруденения участки обрамления вулкано-тектонических депрессий. Кроме того, по всей вероятности, большую роль в этом отношении играют разломы северо-западного, в меньшей степени широтного направлений. Зоны этих разломов, как правило, сопровождаются полями гидротермально измененных пород, несущих золотую минерализацию. Такая закономерность отмечается не только для описываемой территории, но и для смежных площадей [8,12].

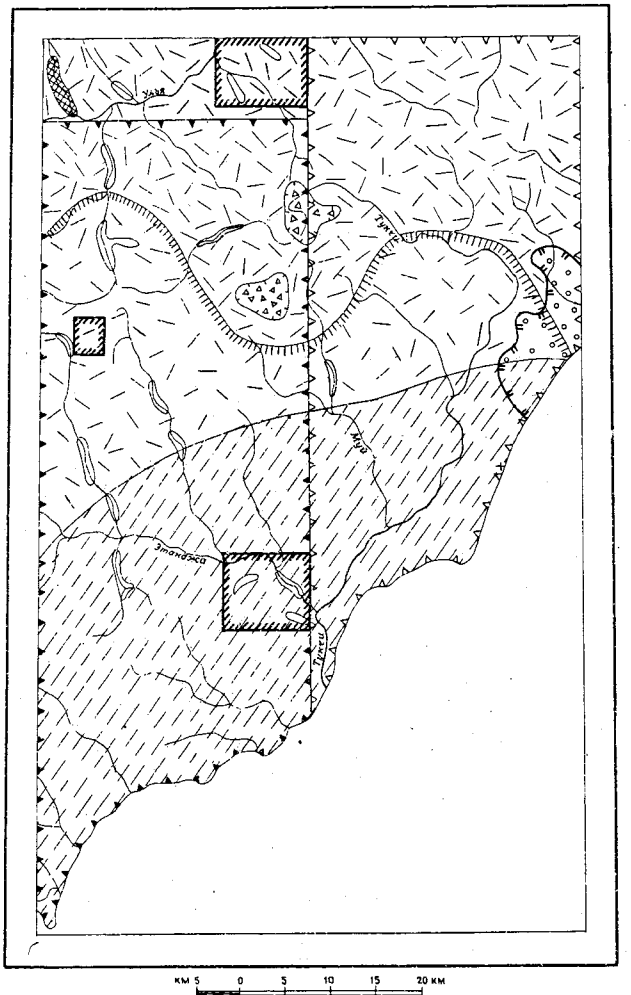
Высоко оцениваются перспективы территории листа и в отношении россыпных месторождений золота. В условиях интенсивно расщлененного

горного рельефа наиболее благоприятными участками для формирования и сохранения долинных россыпей являются межгорные котловины, расположенные в верховьях рек Турмачан и Муй, а также участки относительно слабых новейших тектонических движений. Анализ продольных профилей речных долин позволил выявить равновесные участки долин, благоприятные для локализации россыпей. Такие участки расположены в долинах Турмачана, верхнего течения р.Муй, бассейнах Эстанджа и Ульи. Мощность аллювиальных отложений достигает на этих участках первых метров. Золото содержится как в руслоевых, так и в террасовых отложениях. Плотик, наблюдающийся местами в обрывах цокольных террас, трещиноватый с неровной поверхностью. На плотике в долине р.Эйканда установлены содержания золота до 7 г/м³. Непосредственно западнее территории листа, в притоке р.Эйканда, выявлена промышленная россыпь золота (Баджан) с содержаниями металла до 9,6 г/м³ и размером золотин до 6 мм [18].

Наличие участков долин, благоприятных для накопления и формирования россыпей, в сочетании с широким развитием коренных источников золота и обнаружением в непосредственной близости от района в аналогичной геолого-геоморфологической обстановке промышленной россыпи позволяет положительно оценивать перспективы территории в отношении россыпных месторождений золота. Наиболее благоприятны участки речных долин, указанные выше (см.рис.4).

На описываемой территории не выявлено рудопроявлений молибдена. Лишь на нескольких участках в поле развития джугджурских гранитоидов в бассейнах рек Эстанджа, Турмачан и Верхняя Энерда установлены зоны окварцевания, эпидотизации и хлоритизации с убогой склонностью молибденита и иногда халькопирита. Во всех случаях содержание молибдена и меди не превышает тысячных долей процента. Однако широкое развитие в районе меловых гранитоидов, в том числе малых интрузий с ярко выраженной молибденовой специализацией, интенсивная гидротермальная проработка пород вдоль многочисленных зон разломов, а также наличие крупных рудопроявлений молибдена и меди в гидротермально измененных гранитоидах западной части Прибрежного массива [9,17] позволяют предполагать возможность обнаружения в пределах территории листа промышленного молибденового или медно-молибденового оруденения, что в первую очередь относится к месторождениям штокверкового типа. В этом отношении наиболее перспективна южная часть территории в поле развития меловых гранитоидов и их экзоконтактовой зоны. При проведении дальнейших работ необходимо анализировать минерализованные породы на золото.

Установленное в районе свинцово-цинковое оруденение с медной минерализацией связано с кварцевыми штокверками и окварцованными



брекчиями. Широкое развитие гидротермально измененных пород позволяет надеяться на обнаружение в пределах описываемой территории мелких месторождений свинцово-цинковых (или медно-свинцово-цинковых) руд. В первую очередь перспективны участки, охваченные шлиховыми ореолами рассеяния минералов свинца и цинка в верховьях рек Тукчи и Муй.

Находки киновари в аллювиальных отложениях рек Мунгая и Агин-кан, по всей вероятности, свидетельствуют о наличии в бассейнах этих рек зон низкотемпературных гидротермально измененных пород, несущих киноварную минерализацию. Не исключена возможность, что ртутное оруденение на этом участке может представить практический интерес.

В районе имеются огромные запасы строительных материалов – гальки, гравия, щебня, бутового и облицовочного камня.

Высокие перспективы описываемого района в отношении полезных ископаемых и, в первую очередь, золота, позволяют рекомендовать всю площадь листа для постановки геологической съемки м-ба 1:50 000. Западная половина территории листа (трапеции 0-54-75, 87, 99) может быть рекомендована для проведения геологической съемки

Рис.4. Схема прогнозов и рекомендаций

I – область Джуликурского поднятия, характеризующаяся значительным эрозионным срезом, перспективная в отношении мезотермальных месторождений золота кварцево-жильного и штокверкового типа; 2 – область Ульинского прогиба, характеризующаяся незначительным эрозионным срезом, перспективная в отношении эпигермальных месторождений золото-серебряной формации в пропилитах, вторичных кварцитах и кварцевых жилах; 3 – равновесные участки речных долин в областях относительно слабых новейших движений, благоприятные для формирования и сохранения россыпей золота; 4 – граница области развития молибденоносных меловых гранитоидов Прибрежного массива, перспективная в отношении молибденовых (медно-молибденовых) месторождений штокверкового или кварцево-жильного типа; 5 – площади шлиховых ореолов минералов свинца и цинка, перспективные в отношении мелких месторождений полиметаллических руд штокверкового типа; 6 – участок, в пределах которого установлена киноварь в рыхлых отложениях, перспективный для обнаружения зон ртутной минерализации; 7 – площадь рекомендуемая для постановки геологической съемки м-ба 1:50 000 (а – первой очереди, б – второй очереди); 8 – площади, рекомендуемые для постановки поисковых работ м-ба 1:10 000 с целью оценки рудопроявлений золота; 9 – участок долины р. Эйканда, рекомендуемый для проведения шурфовых (или буровых) работ с целью оконтуривания и оценки предполагаемой россыпи золота; 10 – площадь, рекомендуемая для постановки поисковых работ м-ба 1:25 000 с целью поисков и оценки проявлений ртутного оруденения.

м-ба I:50 000 в первую очередь, поскольку здесь наиболее широко развиты гидротермально измененные породы и в процессе геологической съемки м-ба I:200 000 выявлен ряд интересных проявлений как рудного, так и россыпного золота. При проведении съемки м-ба I:50 000 особое внимание следует уделять изучению зон сочленения крупных вулкано-тектонических структур и разломов северо-западного простирания, которые, по всей вероятности, являются наиболее благоприятными структурами для локализации золотого оруденения.

Таким образом, одной из основных задач геологического картирования - детальная расшифровка структуры вулканогенного поля с выделением вулканических и вулкано-тектонических структур различных порядков.

Одновременно можно рекомендовать постановку поисковых работ м-ба I:10 000 на площади рудопроявлений Ульинское, Прибрежное и Дальнее с целью их оценки и подсчета геологических запасов металла. В долине р. Эйканда целесообразна проходка нескольких линий шурfov или буровых скважин для оконтуривания и оценки преполагаемой россыпи золота.

Можно рекомендовать также продумать вопрос об изучении шельфа с целью поисков прибрежно-морских россыпей.

В процессе крупномасштабного картирования необходимо учитывать возможность открытия месторождений молибдена в пределах Прибрежного массива и его экзоконтактовых зон, а также полиметаллического оруденения, в первую очередь в верховьях Тукчи и Муя.

Для поисков и оценки коренных источников киновари рекомендуется постановка поисковых работ м-ба I:25 000 в бассейнах рек Мунгая и Агинкан со значительными объемами шлихового и литохимического отборования.

ЛИТЕРАТУРА

О публикованная

1. АНИКЕЕВ Н.П., ДРАБКИН И.Е., ТИТОВ В.А. О геологическом строении и металлогении Охотско-Чукотского вулканогенного пояса. Материалы совещания "Рудоносность вулканогенных образований Северо-Востока и Дальнего Востока". Магадан, 1967.

2. ИЦИКОН М.И., КРАСНЫЙ Л.И., МАТВЕЕНКО В.Т. Вулканические пояса Тихоокеанского кольца и их металлогения. Материалы совещания по проблеме "Рудоносность вулканогенных формаций". М., 1965.

3. МОЛЧАНОВА Т.В., НАГИБИНА М.С., УСТИЕВ Е.К. Структурные условия и формационные особенности магматической деятельности мезозоя и кайнозоя в континентальной части Советского Дальнего Востока. В сб.: Особенности магматизма и метаморфизма на Советском Дальнем Востоке. М., 1968.

4. СКОТАРЕНКО В.В. Новейшая тектоника Учуро-Майского района и некоторые вопросы анализа формы склонов. Автореферат диссертации на соискание ученоей степени кандидата географических наук. М., 1969.

5. УСТИЕВ Е.К. Охотский структурный пояс и проблемы вулкано-плутонических формаций. В сб.: Проблемы магмы и генезиса изверженных пород. М., 1963.

6. ЧЕРТОВСКИХ Г.Н. Геологическая карта СССР м-ба I:1 000 000, лист 0-54 и объяснительная записка к ней. М., 1962.

7. ЧЕРТОВСКИХ Г.Н. Ульинский наложенный прогиб. В кн.: Материалы по геологии и полезным ископаемым Северо-Востока СССР вып. I7. Магадан, 1964.

Фондовая

8. БЕЭР А.А., ГРОМОВ В.В. Геологическая карта СССР м-ба I:200 000 лист 0-54-Ш и объяснительная записка к ней. 1966. Фонды ВАГТ.

9. ГОЛЬДЕНБЕРГ В.И., ПУТАЧЕВА И.П. Объяснительная записка к Геологической карте СССР м-ба I:200 000, лист 0-54-ХХУ. 1966. Фонды ВАГТ.

10. ИГОРОВ И.Н., КАМИНСКИЙ Ф.В., ФИЛИЧЕВ И.И., СУРИКОВА А.С., ШЛОСБЕРГ М.А., КУДИНОВА С.В. Окончательный отчет по геологосъемочным и поисковым работам м-ба I:200 000. Листы 0-54-ХХ, ХХI (по работам 1967-1969 гг.), 1970. Фонды ВАГТ.

11. ЗЛОБИН К.Т. Отчет Улканской геолого-рекогносцировочной партии о геологических исследованиях на участке Охотского побережья между м. Нуркан и устьем р. Тукчи. Охотская эксп. Магадан, 1946. Фонды СВТГУ.

12. КОНСТАНТИНОВСКИЙ А.А., ГРОМОВ В.В., РЕЙТИНГЕР А.С. Геологическая карта СССР м-ба I:200 000, лист 0-54-XIX и объяснительная записка к ней. 1971. Фонды ВАГТ.

13. МИНЦ М.В., САМОЗВАНЦЕВА З.М., РУНОВ Б.Е., ГОЛЬМТРЕН Э.П. Окончательный отчет о геологической съемке м-ба I:50 000. Части трапеций 0-54-74-Б, 0-54-75-А, Б (работы 1970-1971 гг.). 1972. Фонды ВАГТ.

14. МУХОМОР И.К. Отчет о результатах работы Бирандинской геолого-рекогносцировочной партии м-ба I:500 000. 1968, ВГФ.

15. ПЕСКОВ Е.Г., ЮДИН С.С. Геологическое строение бассейна верховьев р.Мая и Урака. Отчет по работам за 1958 г. М., 1959, ВГФ.

16. НЕТИЖИН В.И., ДИОМИДОВА В.Л. Золотоносность левобережья среднего течения р.Мая. Отчет о работе Нельканской конторы "Золото-разведка" за 1942-1945 гг. М., 1951. Фонды ЦНИГРИ.

17. РЕЙТЛИНГЕР А.С., ПУЗАНОВ В.И. Отчет по поисковым работам на золото-серебряное оруденение в Учуро-Майском районе. М., 1969. Фонды ВАГТ.

18. САМОЗВАНЦЕВА З.М., МИНЦ М.В., РУНОВ Б.Е. Окончательный отчет по геологической съемке м-ба I:50 000 части планшетов 0-54-62-В,Г, 0-54-74-А,Б,В,Г (партия № I, 1967-1969 гг.). М., 1970. Фонды ВАГТ.

19. СТАВЦЕВ А.Л. Объяснительная записка к Геологической карте СССР м-ба I:200 000, лист 0-53-XXX. М., 1964. Фонды ВАГТ.

20. ТРУШКОВА Н.И. Геологические исследования в бассейне р.Тукчи и в бассейне верхнего течения р.Ульи. Отчет Тукчи-Ульинской геолого-рекогносцировочной партии. Магадан, 1947. Фонды СВТГУ.

21. УМЫТБАЕВ Р.Б., КУНАХИН Е. Отчет о результатах работ Амгинской геологосъемочной партии (м-б I:200 000) на территории листа 0-54-IX за 1965-1966 гг. Магадан, 1967. Фонды СВТГУ, № 0283681.

22. ФЕДОТОВ С.И. Отчет о результатах геолого-поисковых работ Нёт-Майской геолого-рекогносцировочной партии (м-б I:500 000). М., 1958. ВГФ.

23. ХЕРУВИМОВА Е.Г. Отчет по аэромагнитным работам Алданской экспедиции в районе побережья Охотского моря. М., 1959. Фонды ВАГТ.

Приложение I

Список

проявлений полезных ископаемых, показанных на листе 0-54-XX, XXIV геологической карты м-ба I:200 000

Индекс клетки на карте	№ на карте	Вид полезного ископаемого и название (местонахождение) проявления	Ссылка на литературу (номера по списку литературы)	Примечание
II-2	3	Свинец, цинк. Верховья р.Муй.	I0	
У-1	2	Свинец, цинк. Мыс Кемира	I0	
II-2	2	Свинец, цинк. Шлиховой ореол. Верховья р.Муй	I0	
II-2	I	Свинец, цинк. Шлиховой ореол. Верховья р.Тукчи	I0	
I-2	I	Золото. "Ульинское"	I0	
II-1	I	Золото. Верховья р.Турманчжа	I0	
II-1	2	Золото. "Дальнее"	I0	
IV-2	I	Золото. "Прибрежное"	I0	
I-2	2	Золото. Шлиховой ореол. Правобережье р.Ульи.	I0	
IV-1	I	Золото. Шлиховой ореол	I0	

Приложение 2

Список

промышленных месторождений полезных ископаемых,
показанных на листе 0-54-ХХ, ХХІІ геологической
карты м-ба I:200 000

Индекс клетки на карте	№ на карте	Вид полезного ископаемого и наименование месторождений	Ссылка на литературу (номера по списку ли- тературы)	При- мечание
У-I	I	Галька, гравий. Побережье	10	

Редактор Т.И.Матис
Технический редактор Н.В.Павловская
Корректор Н.А.Судонкина

Едено в печать 6/XII-1977г. Подписано к печати 29/XI-1977г.
тираж 149 Формат 60x90/14 Уч.-изд.л. 5,3 Заказ 039

Ленинградская картфабрика
объединения "Аэрогеология"